

Quantum Physics & homeopathic medicine

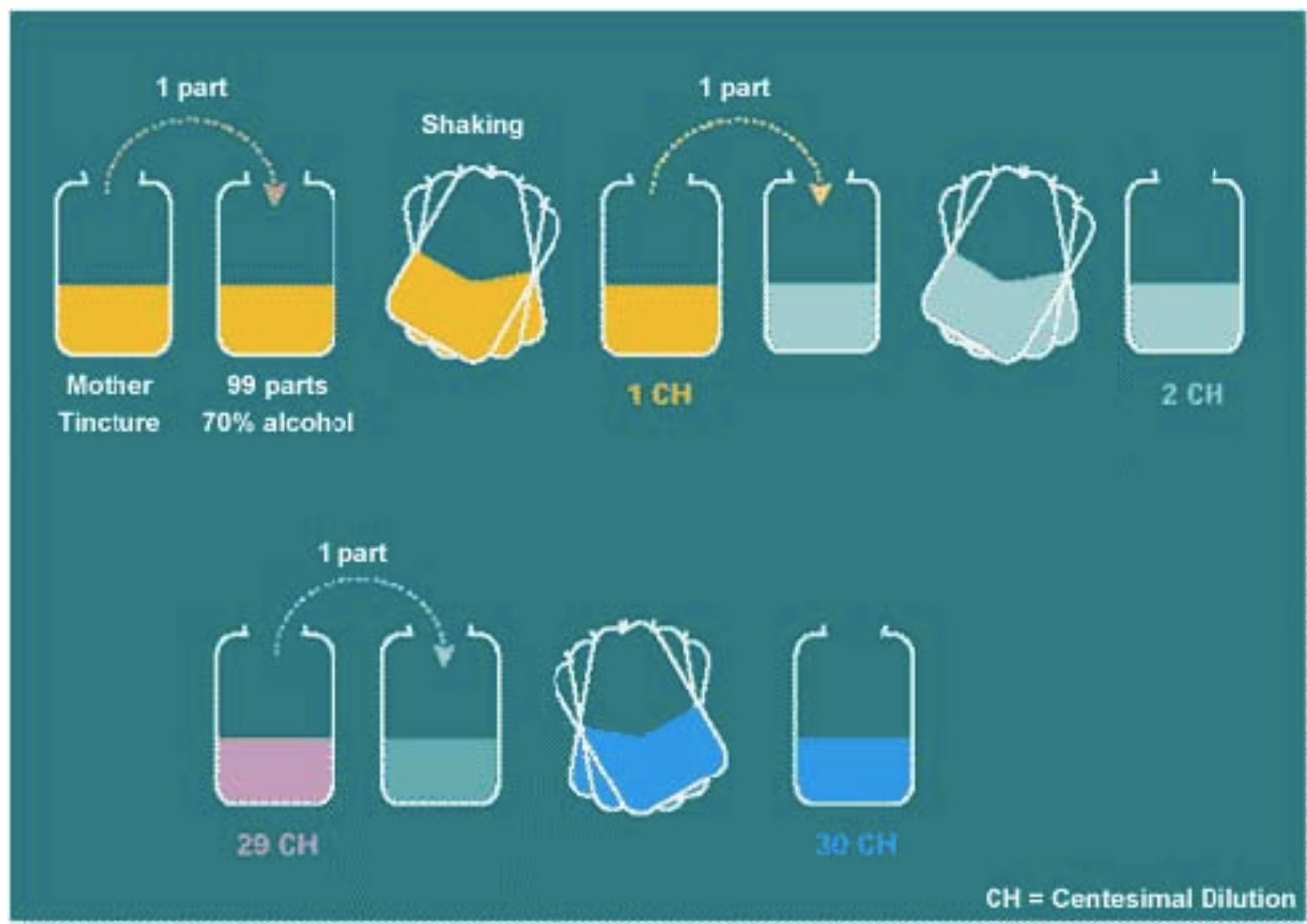
N-LIGHT



Marc HENRY

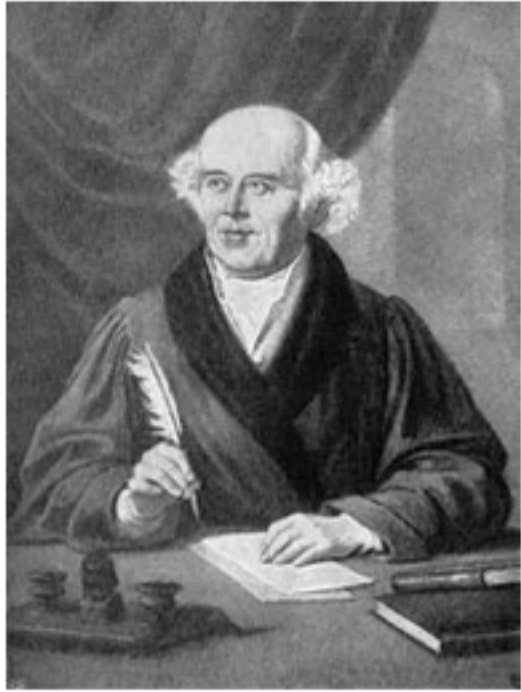
Professeur des Universités

e-mail: natureauquant@gmail.com
<http://natureauquant.blogspot.com>



DYNHOM Colloquium
Bruxelles, May, 13, 2017

Similia Similibus Curentur...

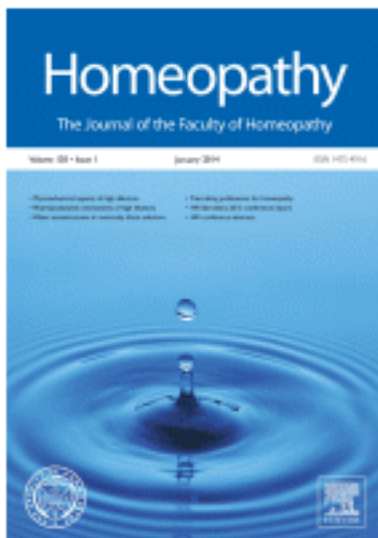


Samuel Hahnemann
(1755-1843)

O r g a n o n
der rationellen
H e i l k u n d e

von

Samuel Hahnemann.

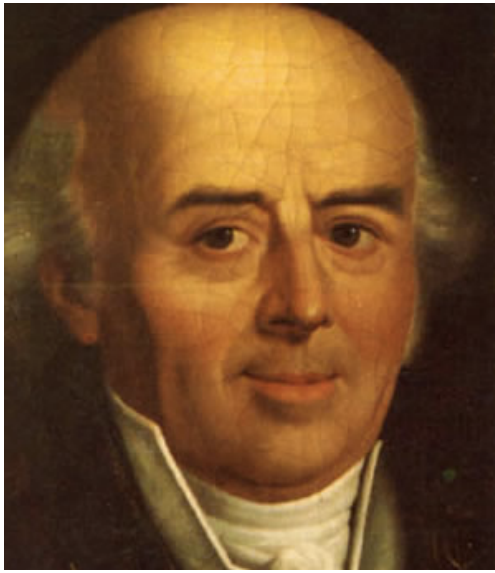


Die Wahrheit, die wir alle nöthig haben,
die uns als Menschen glücklich macht,
ward von der weisen Hand, die sie uns zugedacht,
nur leicht verdeckt, nicht tief vergraben.
GELLERT.

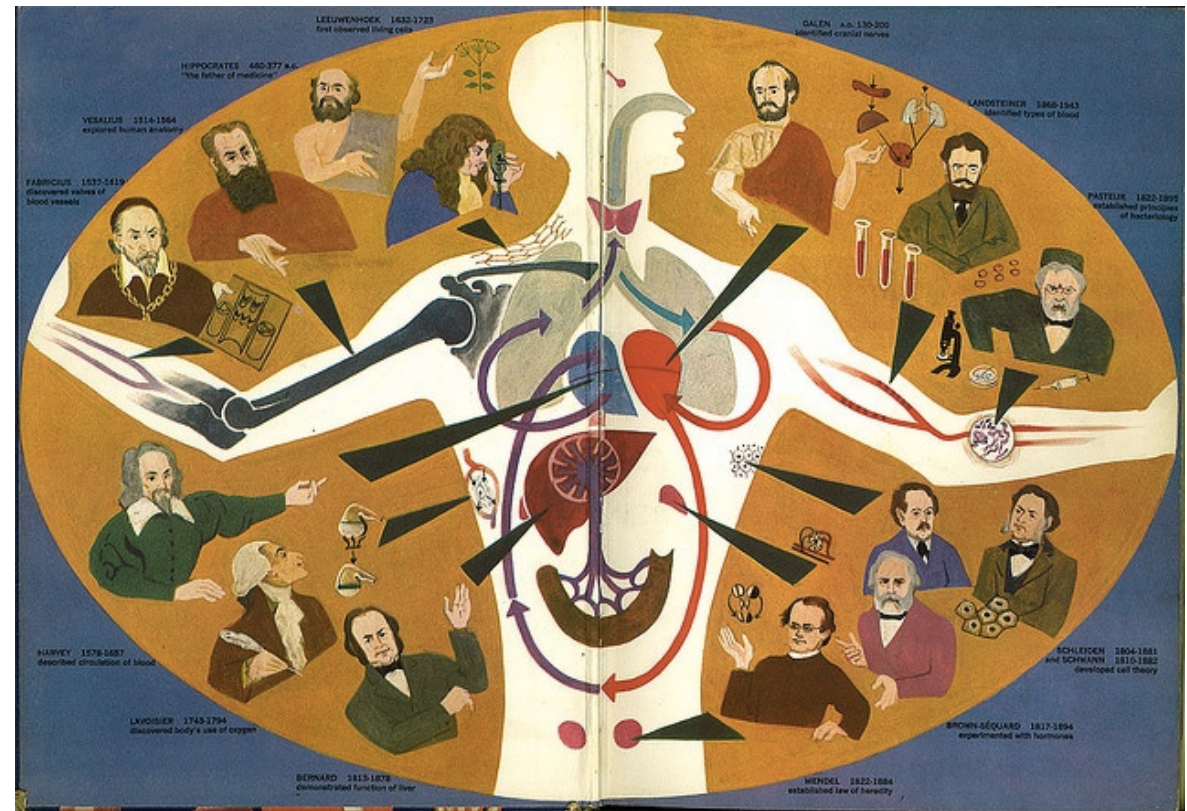
Dresden, 1810.

in der *Arnoldischen Buchhandlung.*





Samuel Hahnemann
(1755-1843)



Internal working of the body cannot be observed

An intoxicated or sick body can only speak using a whole set of symptoms

- Internal (unknowable) = sickness
- External (known) = intoxication



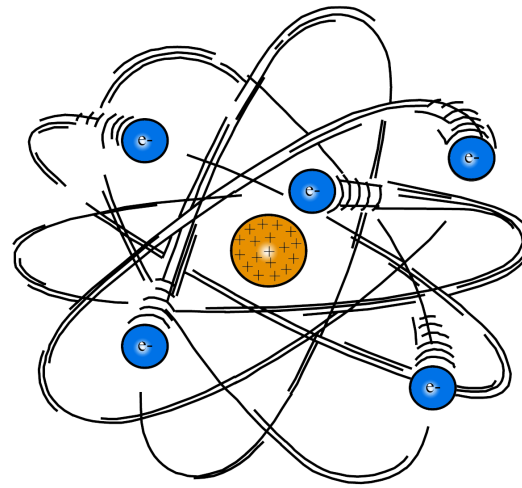
Medical reality =
Set of symptoms

Putting in competition two causes of sickness,
sharing the same canal of expression

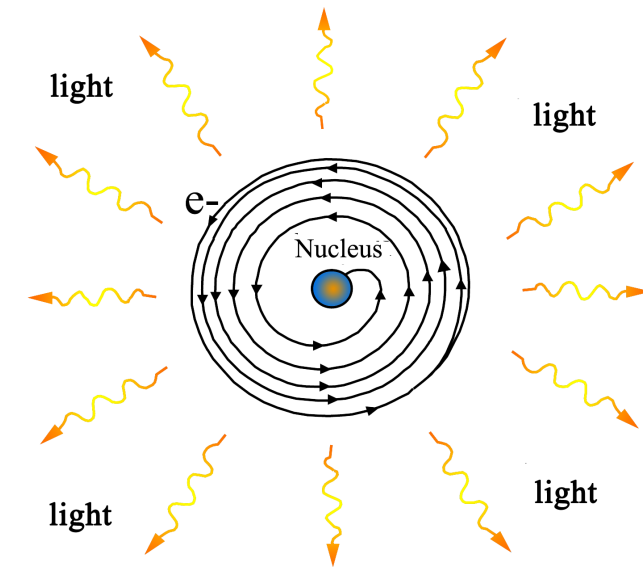
Primary material force et and secondary immaterial response



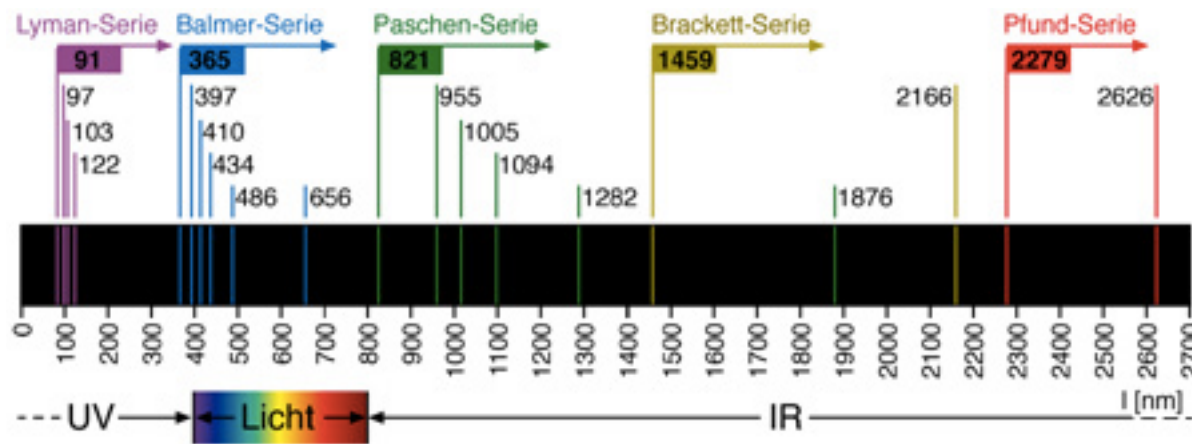
Werner Heisenberg
(1901-1976)



Newton
→
Maxwell



Electronic orbits cannot be observed



An atom emits light according to a whole set of frequencies

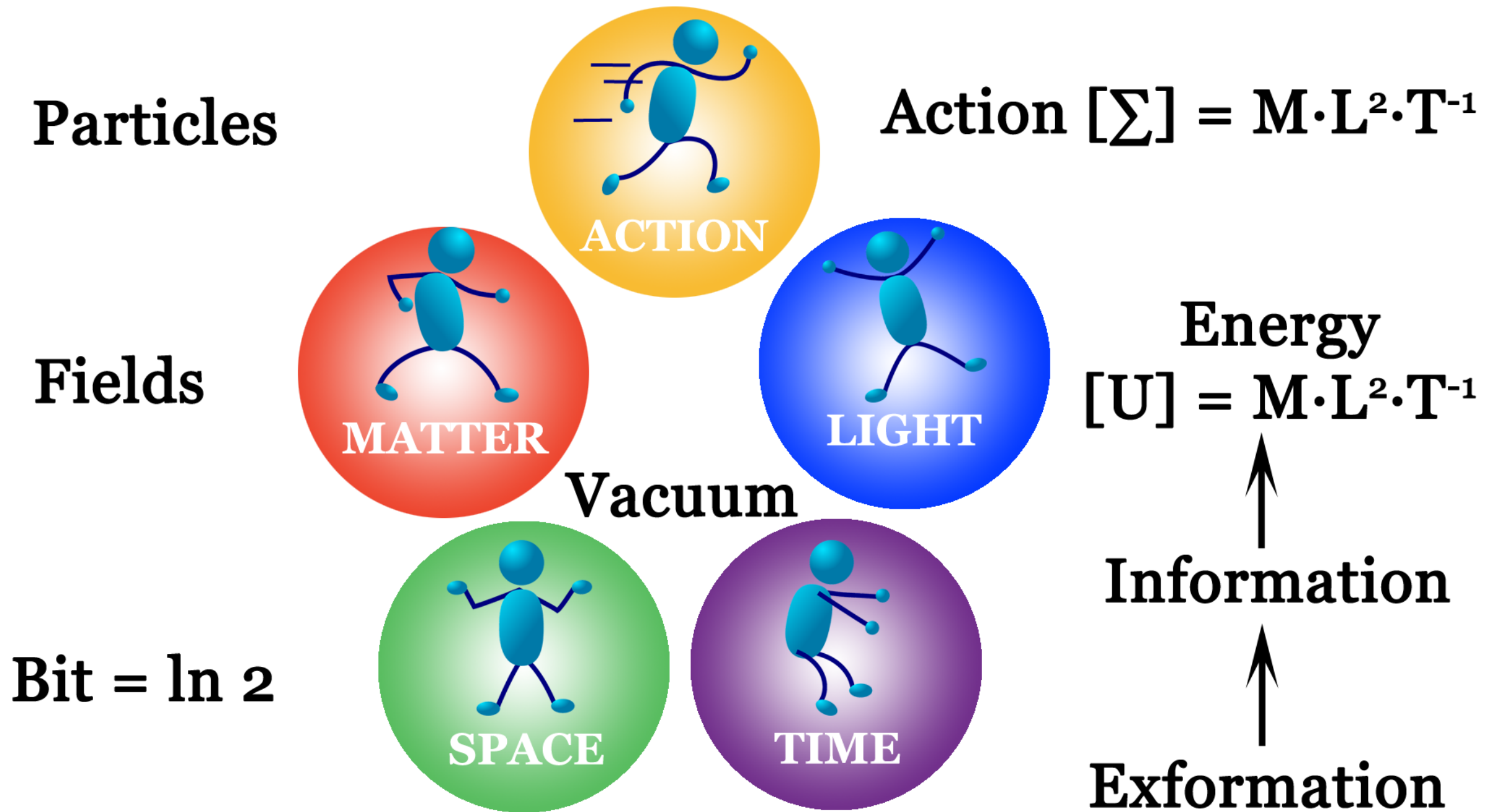
Quantum reality =
Whole set of frequencies

Material cause (N) and
Immaterial reacting force (phase)
 $\Delta N \cdot \Delta \varphi \geq 1/2$

$$\begin{pmatrix} c_{11}e^{i\omega_{11}t} & c_{12}e^{i\omega_{12}t} & c_{13}e^{i\omega_{13}t} & \dots \\ c_{21}e^{i\omega_{21}t} & c_{22}e^{i\omega_{22}t} & c_{23}e^{i\omega_{23}t} & \dots \\ c_{31}e^{i\omega_{31}t} & c_{32}e^{i\omega_{32}t} & c_{33}e^{i\omega_{33}t} & \dots \\ \vdots & \vdots & \vdots & \dots \end{pmatrix}$$

Entanglement principle (quantum unity)

Action = energy×time; impulsions×distance; spin×angle



***Action is the quantity measuring change
Nature always minimize action***

Planck's constant (h) = Quantum of action = 4.136 eV·fs

Vibration: frequency f , pulsation $\omega = 2\pi \cdot f$ and phase $\varphi = \omega \cdot t$



メトロノーム同期 (32個)

Synchronization of thirty two metronomes

2012年09月14日, 池口研究室前廊下にて撮影

Filmed at Ikeguchi Laboratory, on September 14, 2012.

Quantum mechanics: $U = h \cdot f = m \cdot c^2$

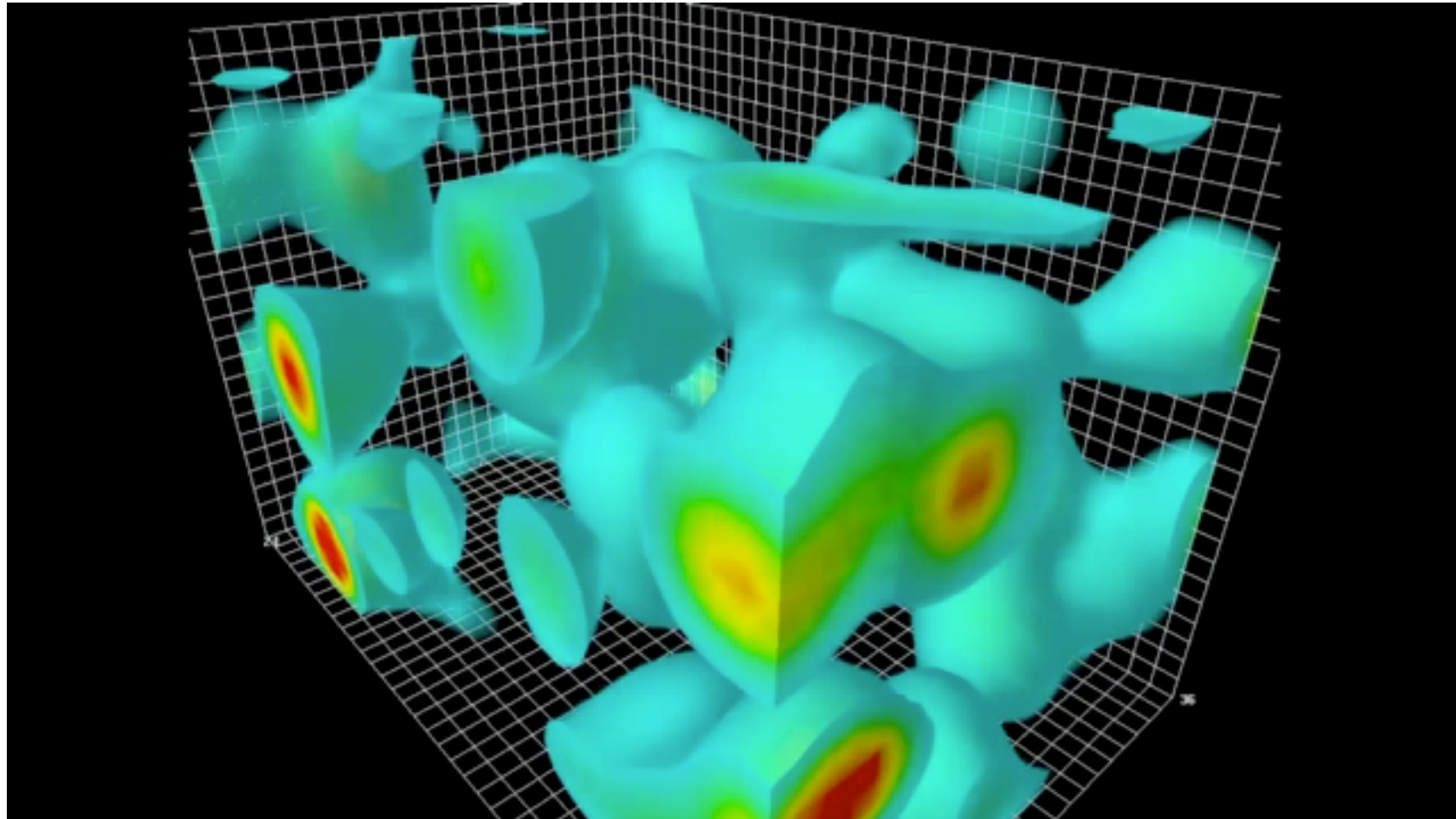
Quantum mechanics: absence of state variable



Number of quanta N and phase φ : $\Delta N \cdot \Delta \varphi \geq 1/2$

N quanta with pulsation $\omega \Rightarrow$ Total energy $U = N \cdot \hbar \cdot \omega$

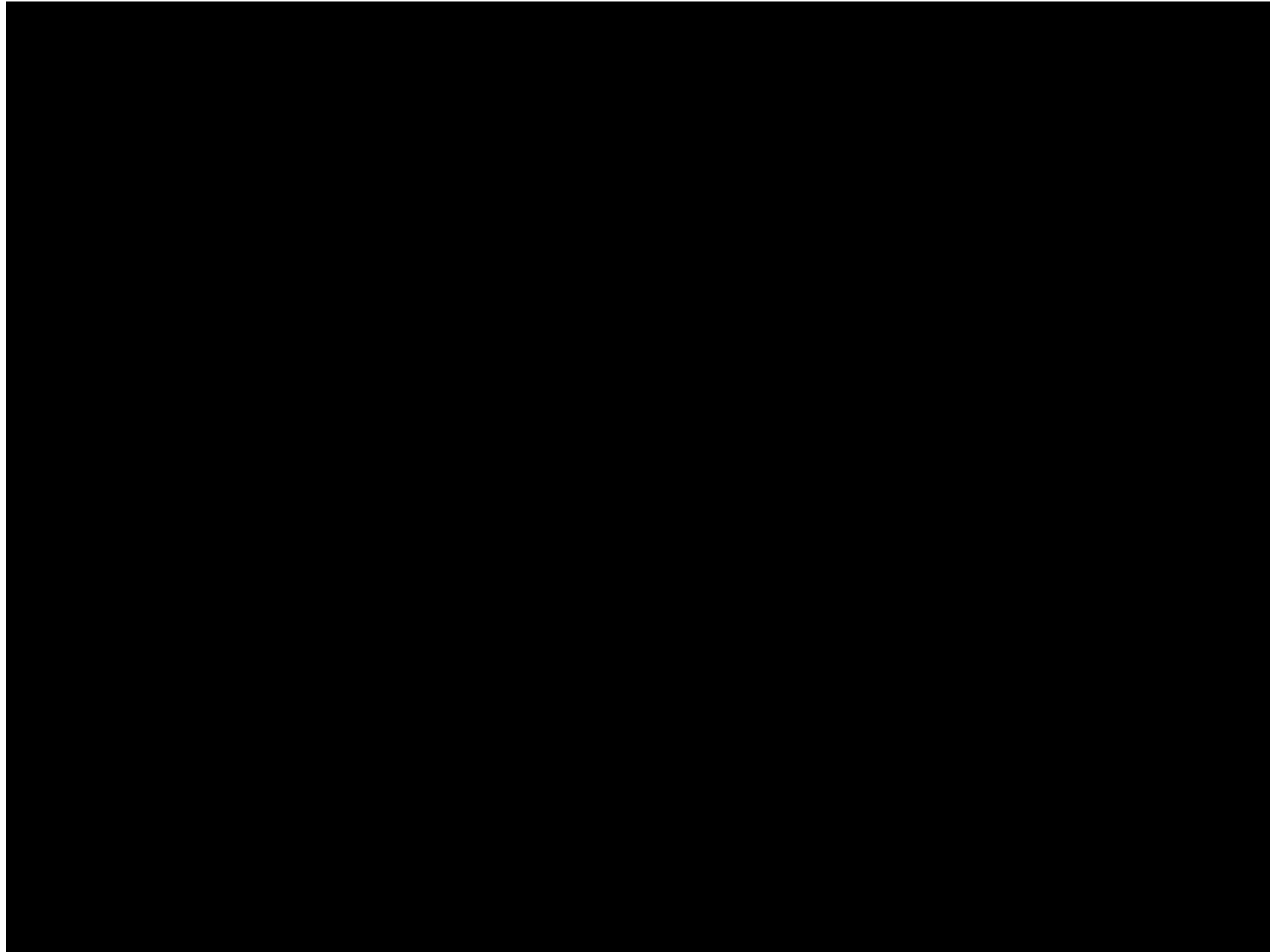
Uncertainties: $\Delta U = \hbar \cdot \omega \cdot (\Delta N) = \Delta m \cdot c^2$ et $\Delta \varphi = \omega \cdot \Delta t$



Time and energy: $\Delta N \cdot \Delta \varphi \geq 1/2 \Rightarrow \Delta E \cdot \Delta t \geq \hbar/2$

Equivalence vacuum/energy: $\Delta x = c \cdot \Delta t \Rightarrow \Delta E \cdot \Delta x \geq \hbar \cdot c/2$

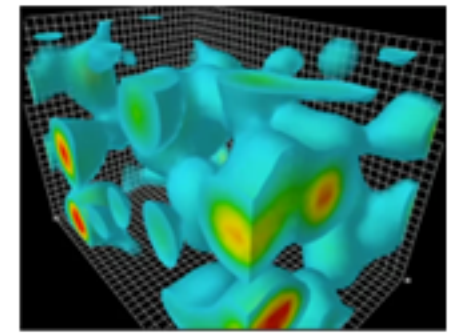
What happens with a mirror moving in the vacuum?
C. Wilson & al., *Nature*, **479** (2011) 376



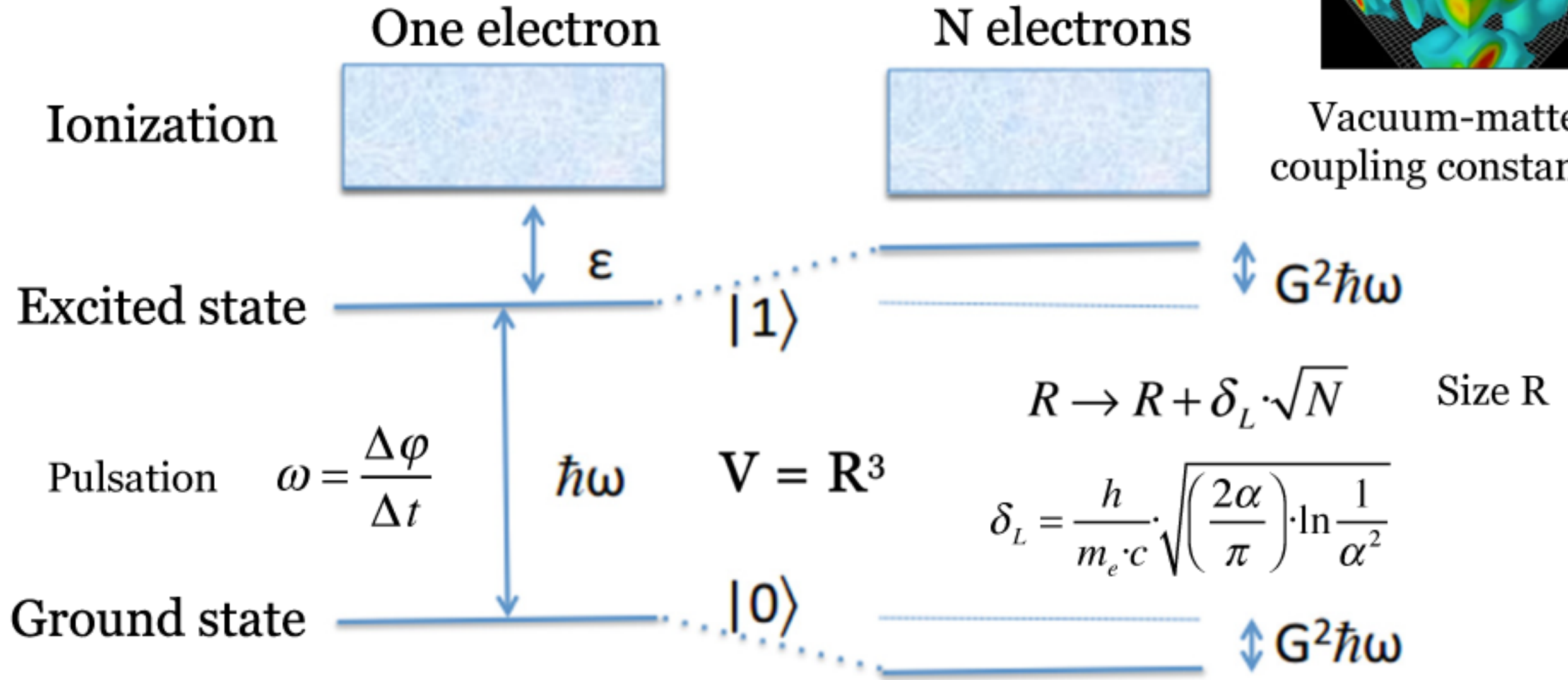
Answer: light emerges...
(Dynamical Casimir effect)

$$\alpha = \frac{e^2}{4\pi\epsilon_0 \cdot \hbar \cdot c} \approx \frac{1}{137}$$

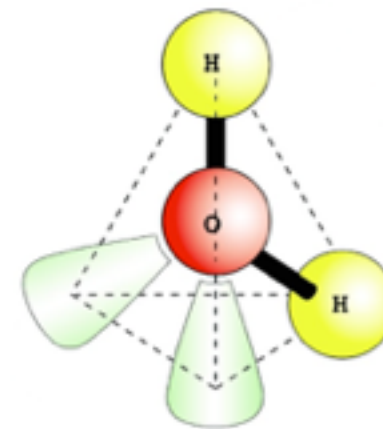
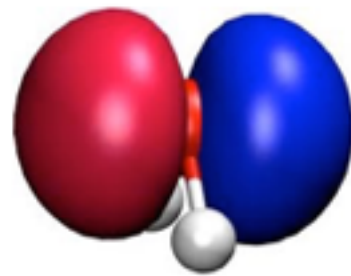
Bose-Einstein condensation



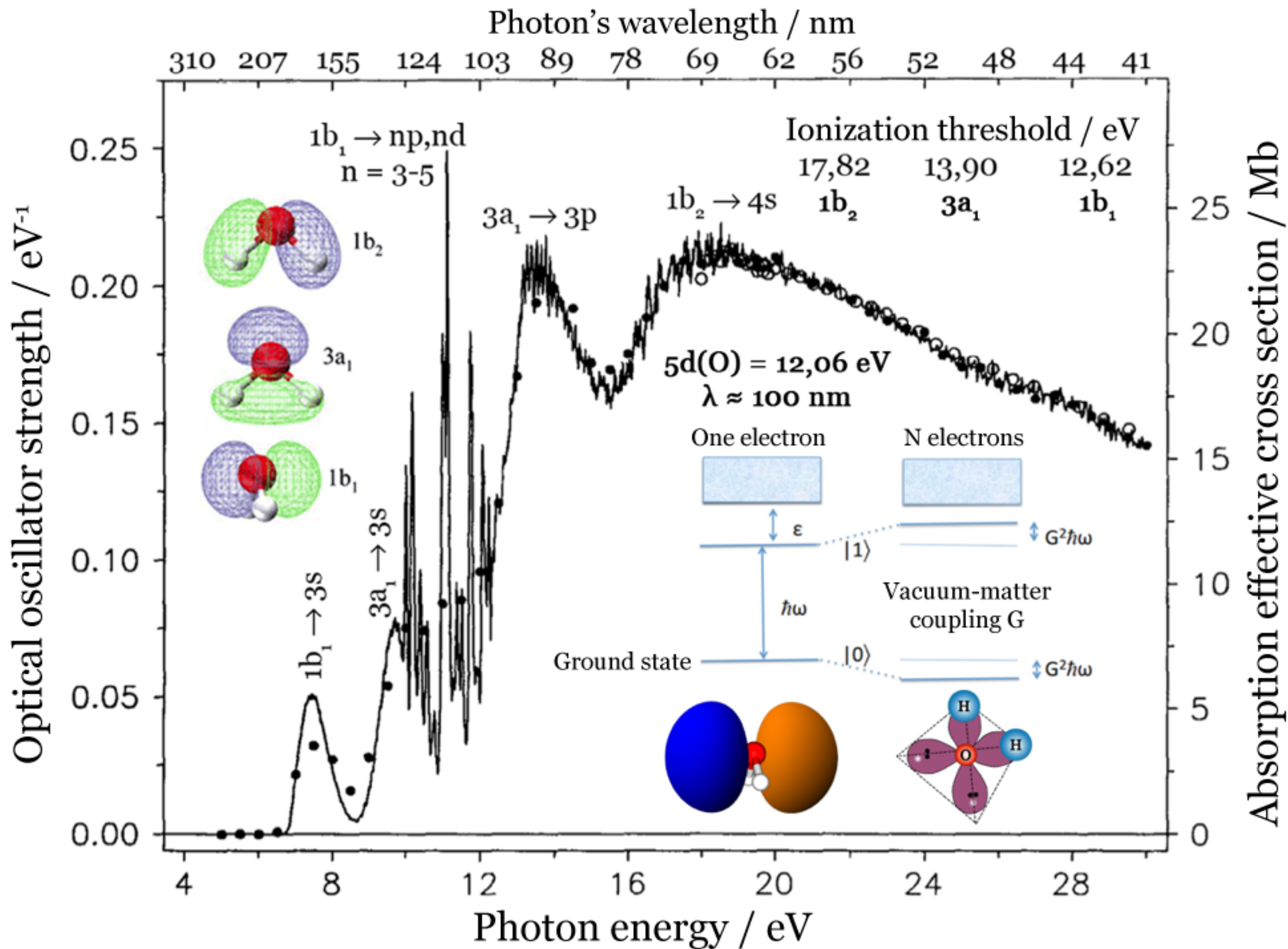
Vacuum-matter coupling constant: G



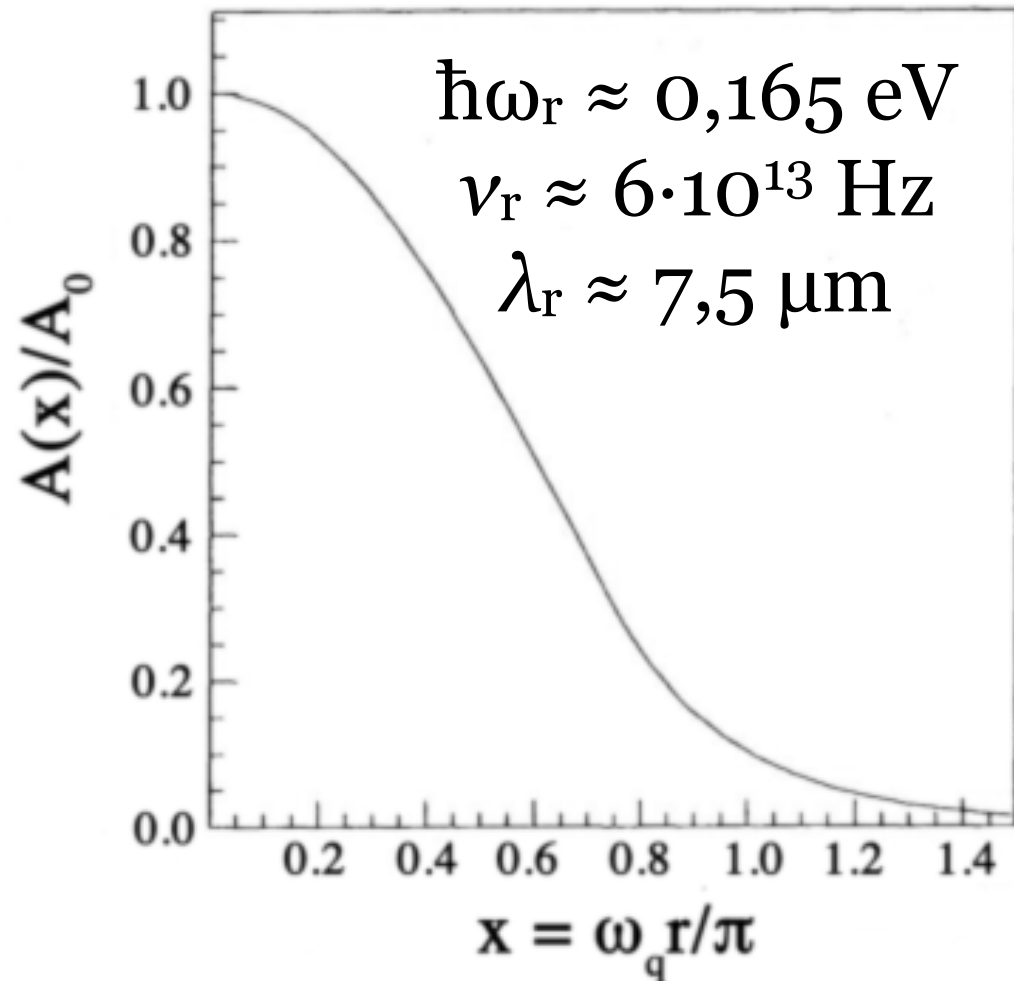
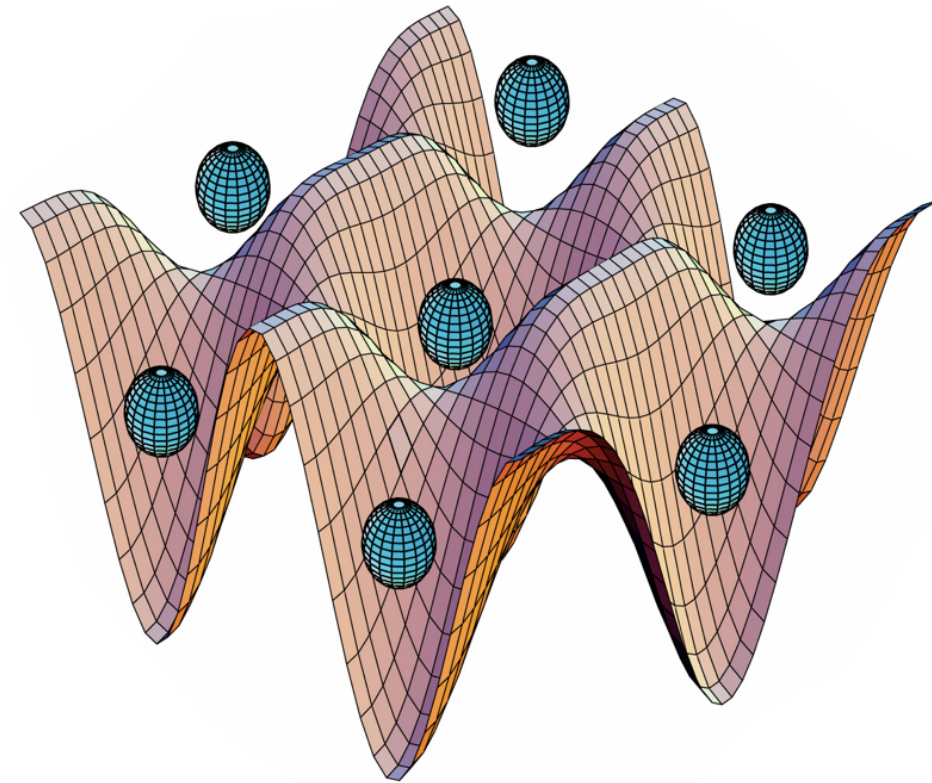
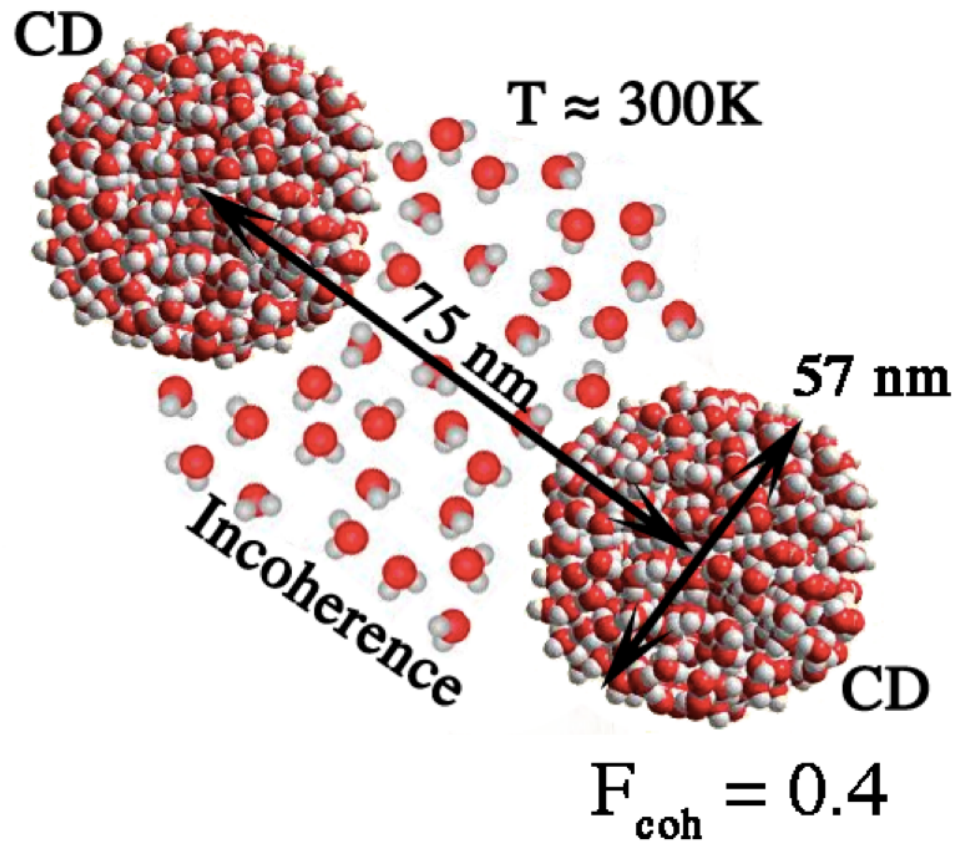
Free water molecule



Hydrogen-bonded water molecule



Water's nanostructuration in coherence domains (CD)

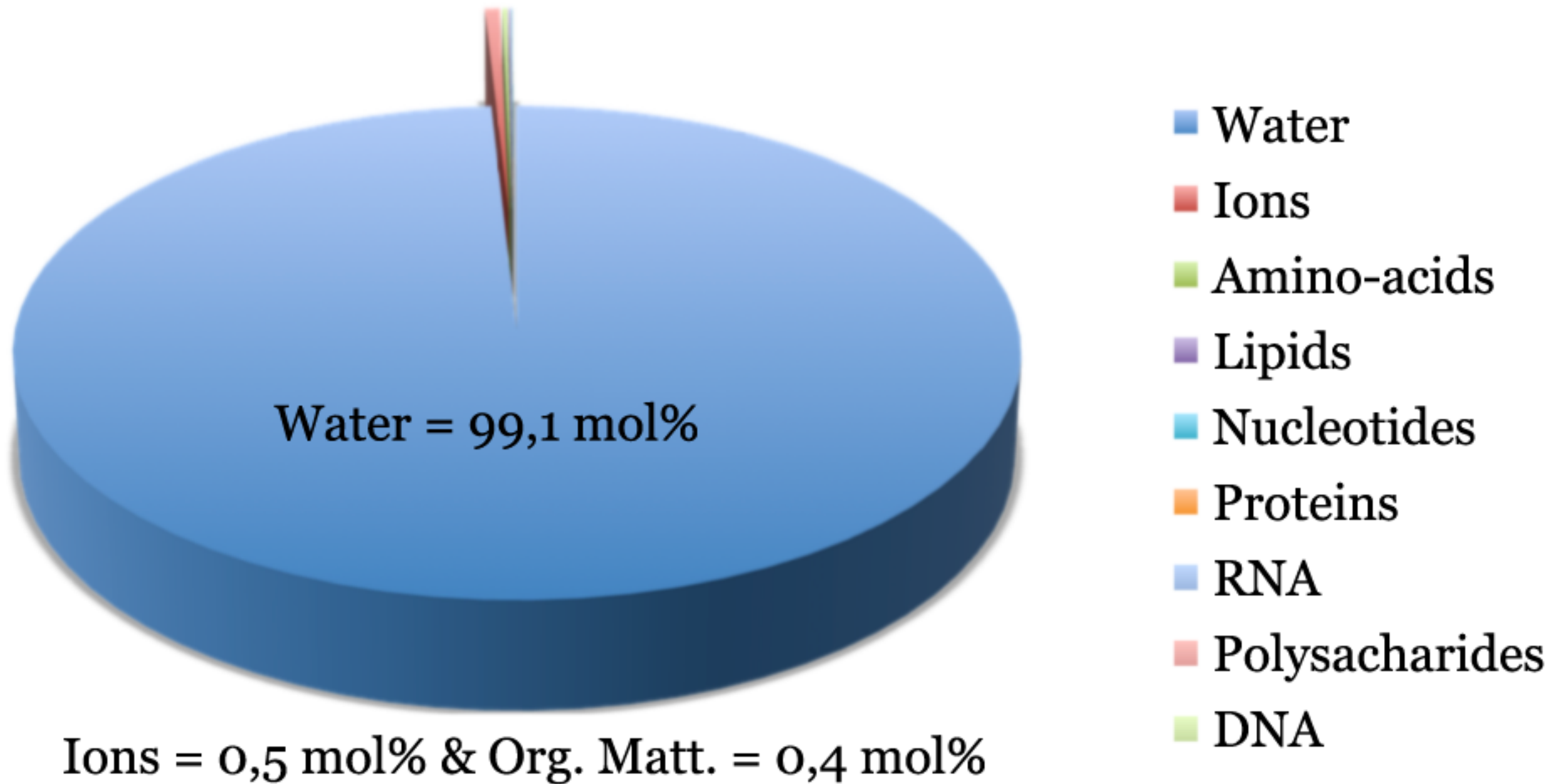


coherence \leftrightarrow incoherence $\delta E = 0,26 \text{ eV}$

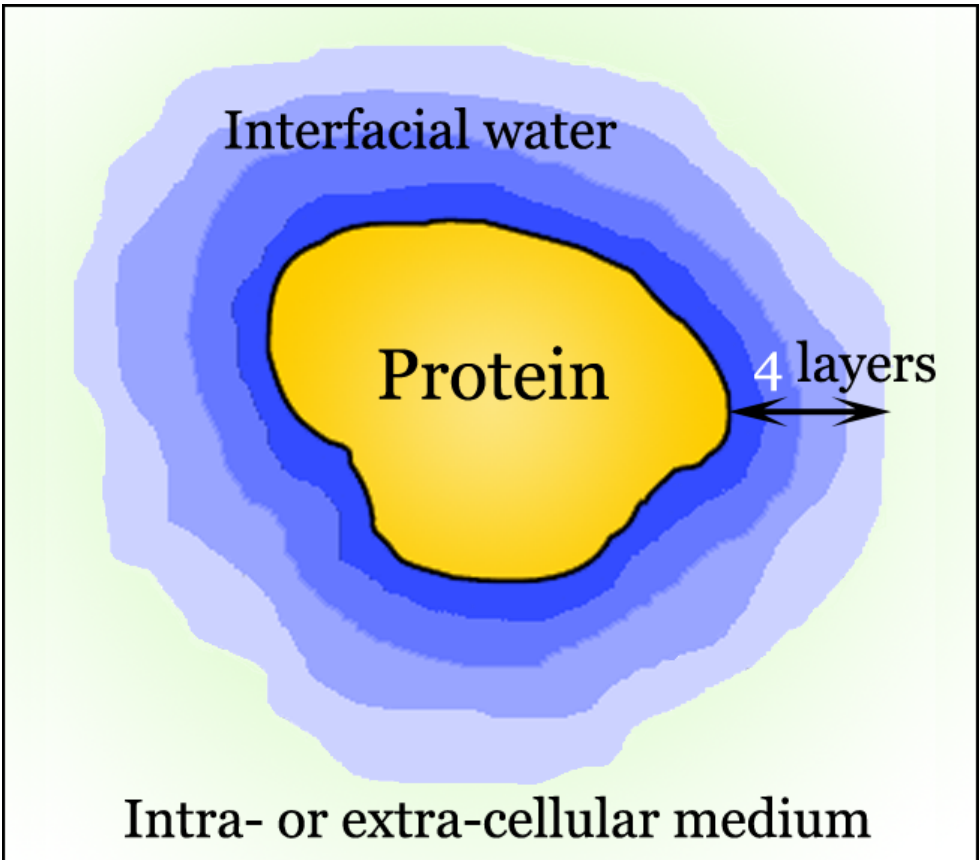
Temp./°C	Coherent	Incoherent
-40°C	100 %	0 %
0°C	50 %	50 %
30°C	40 %	60 %
100°C	0 %	100 %

Molecular composition of a living cell

Escherichia coli \approx 70 wt% H₂O, mass = $7 \cdot 10^{-13}$ g, L \approx 1 μ m, R = 0,5 μ m
 \approx 22 billions 440 millions water molecules



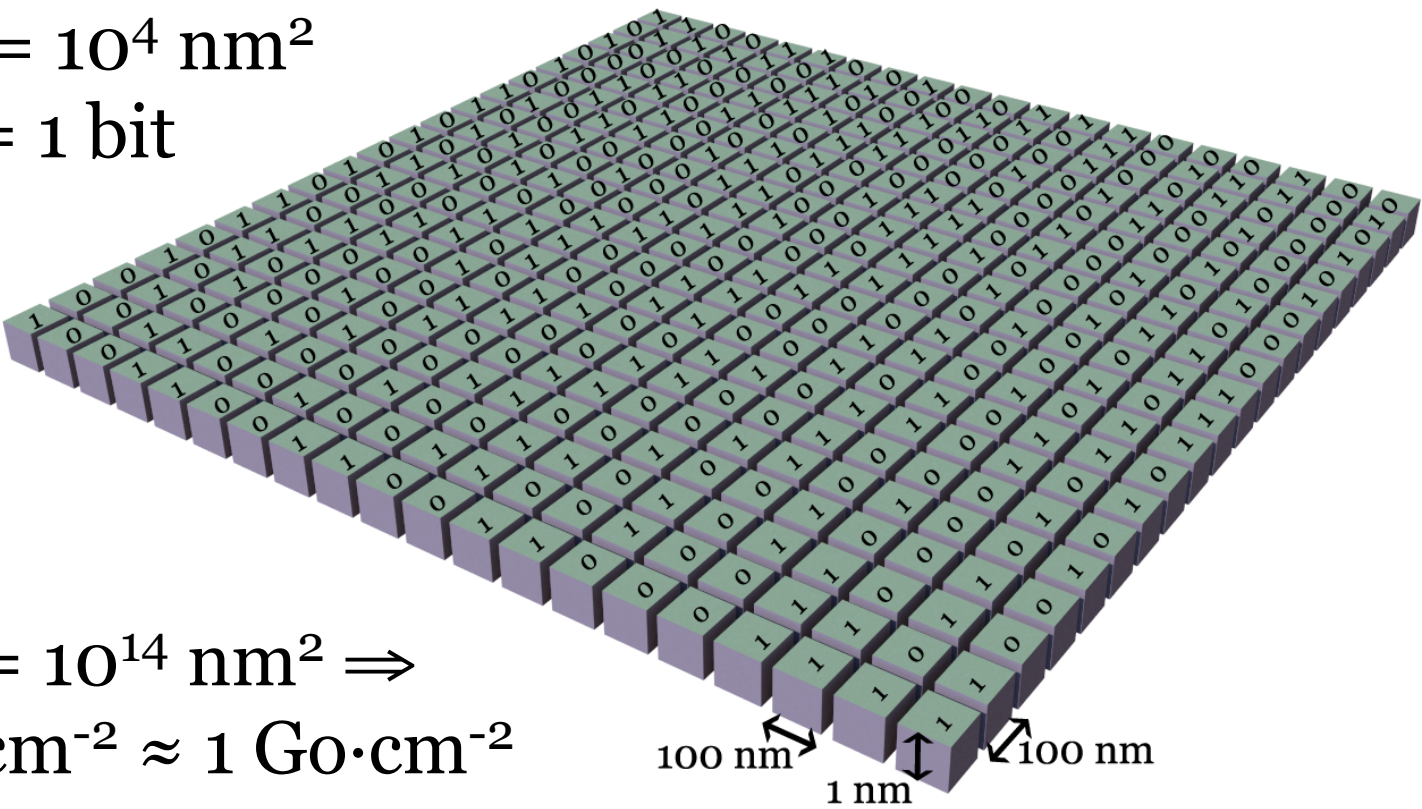
Conclusion: water is life



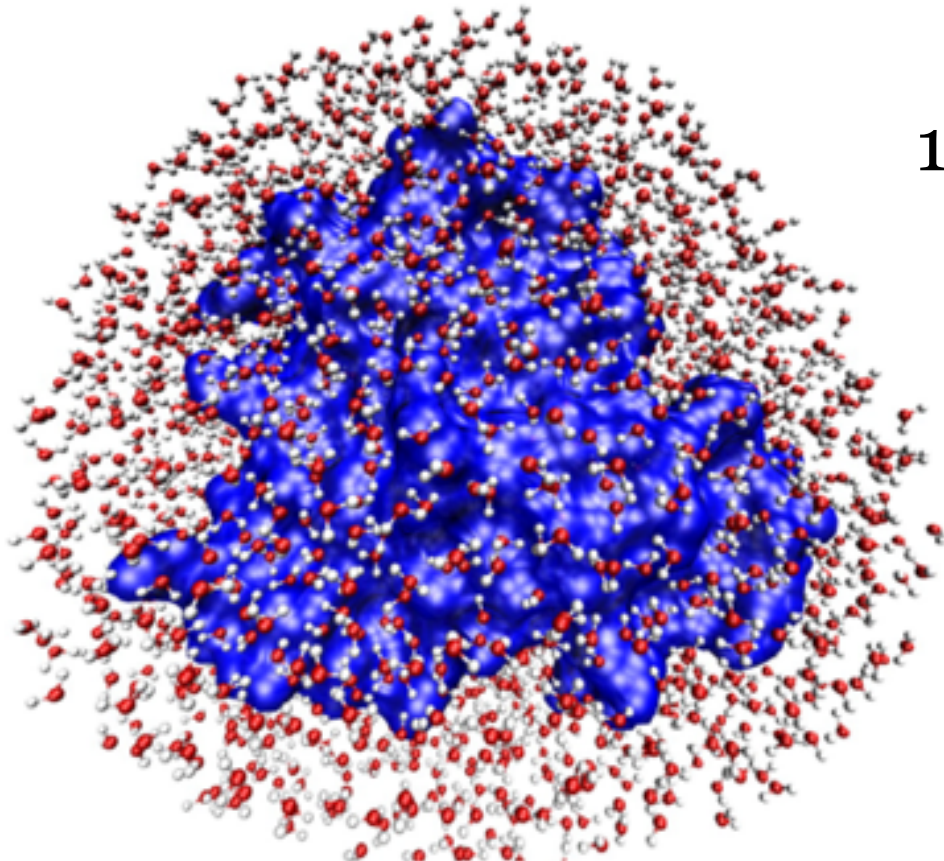
Interfacial water as a memory assuming excitation from vacuum at $\lambda \approx 100 \text{ nm}$

Coherence \Leftrightarrow digit 1 and incoherence \Leftrightarrow digit 0

$$1 \text{ CD} = 10^4 \text{ nm}^2 = 1 \text{ bit}$$



Myoglobine

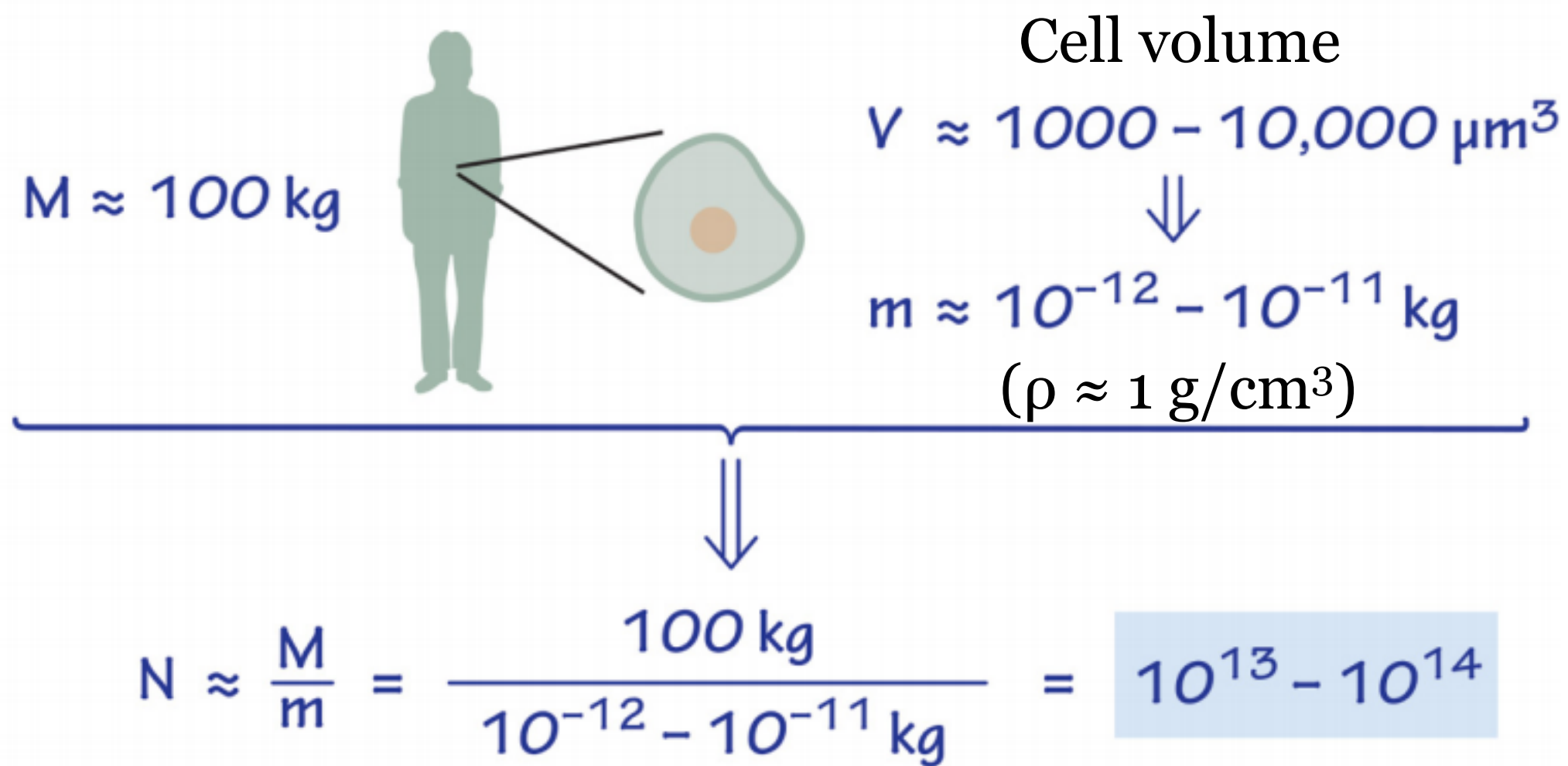


$$1 \text{ cm}^2 = 10^{14} \text{ nm}^2 \Rightarrow 10^{10} \text{ DC} \cdot \text{cm}^{-2} \approx 1 \text{ Go} \cdot \text{cm}^{-2}$$

1 Go $\approx 10^{10}$ bits = 10^9 octets, 1 Po = 10^6 Go
Vidéo BluRay H.264 (1080p25) = 7 Mo/s

$$A(\text{cell}) \approx 500 \mu\text{m}^2 \text{ et lipidic bilayer} \Rightarrow 1 \text{ cell} \approx 5 \cdot 10^{-6} \times 2 \cdot 10^9 = 10 \text{ ko}$$

Total number of cells in a human body



PLOS Biology | DOI:10.1371/journal.pbio.1002533 August 19, 2016

E. Bianconi & al., *Ann. Hum. Biol.* 2013; 40:463–71.
56 cellular types for $3,72 \cdot 10^{13}$ cells

1 year = 31 557 600 seconds
BW = 7 Mo/s

10 ko/cell \Rightarrow 372 Po
 \approx 17 century of BluRay video

Smartness of mycelium

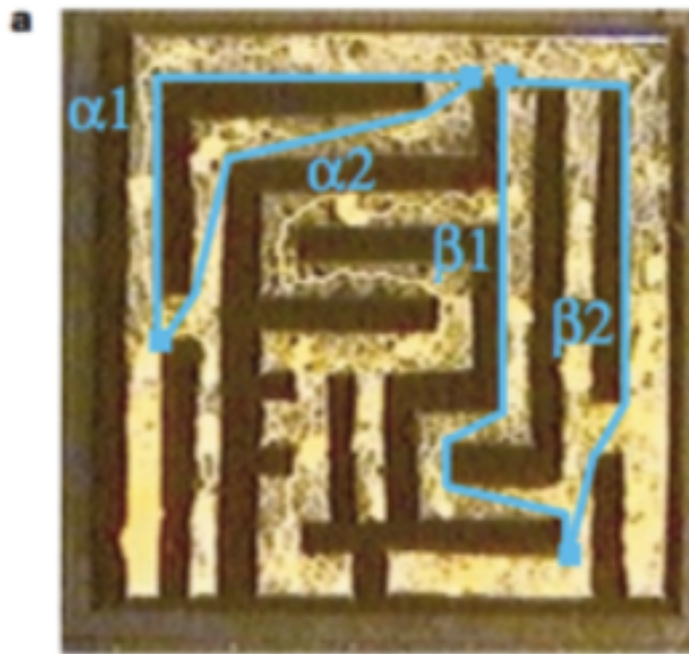


Mycelium ≈ 100 t
 $\approx 10^{21}$ cells

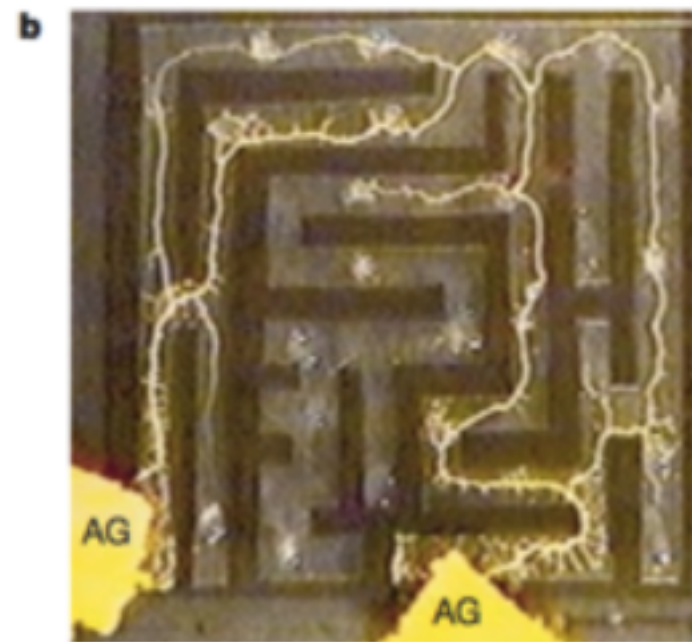
$10^{21} \times 10 = 10^{22}$ ko
 $= 10$ Yo

45 billions years of
BluRay video

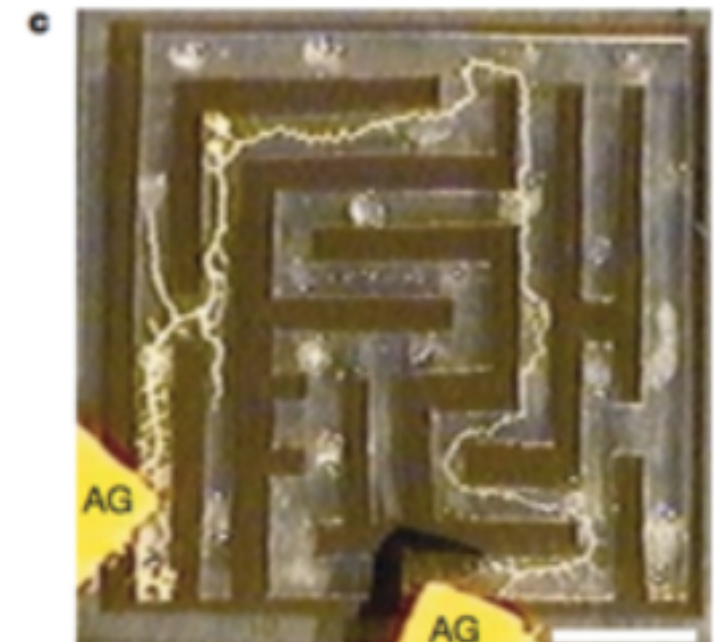
Plasmodium of the slime mould *Physarum polycephalum*



Shortest pathways



t = 4h



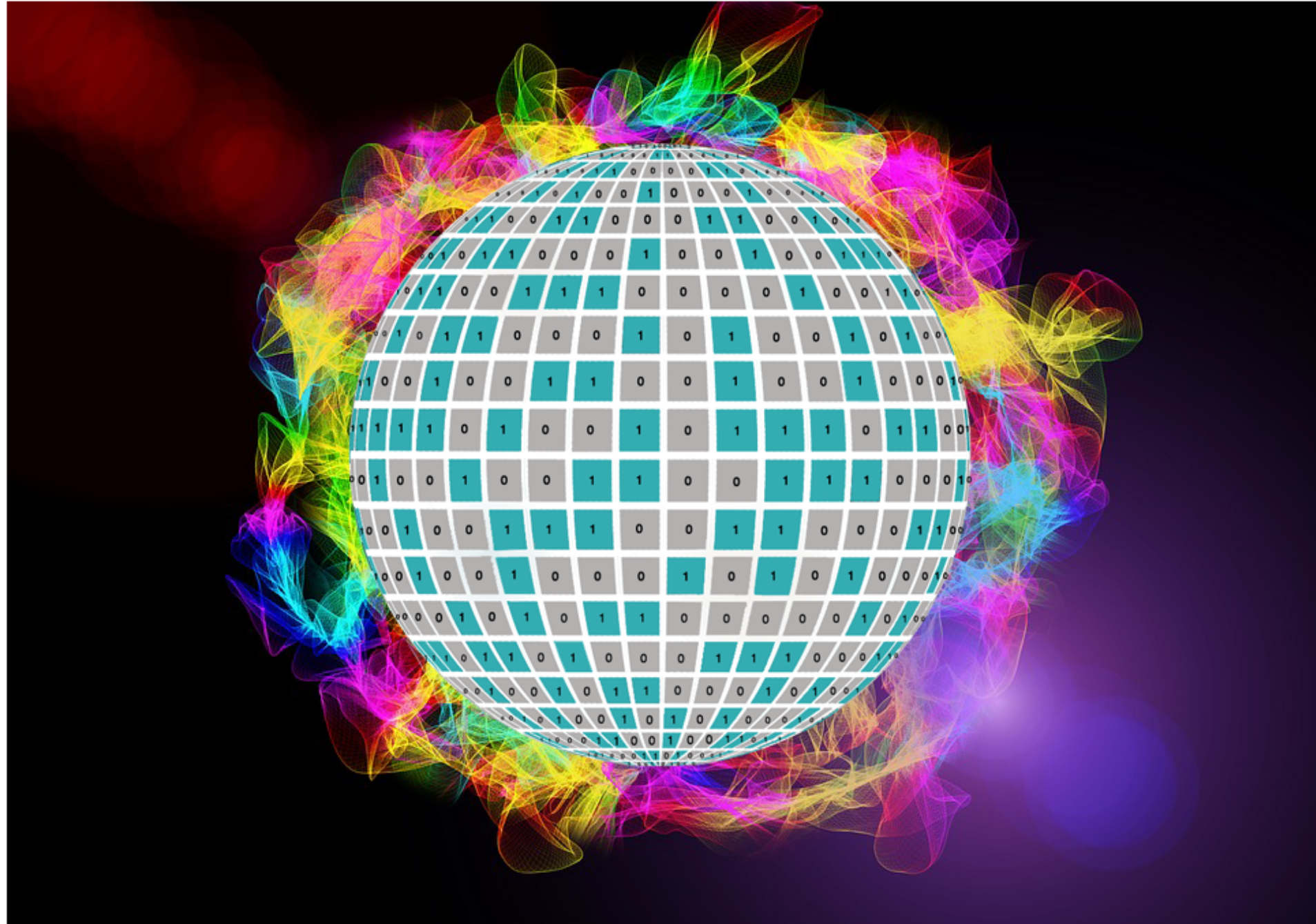
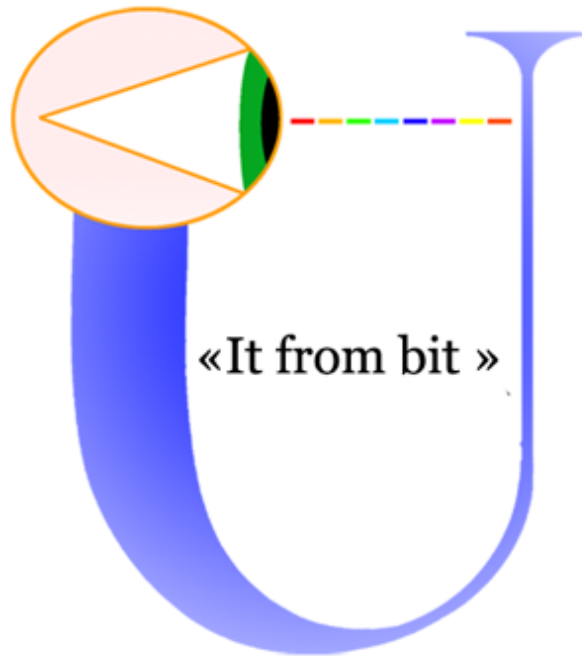
t = 8h

T. Nakagaki & al., *Nature*, 407 (2000) 470



**John Archibald Wheeler
(1911-2008)**

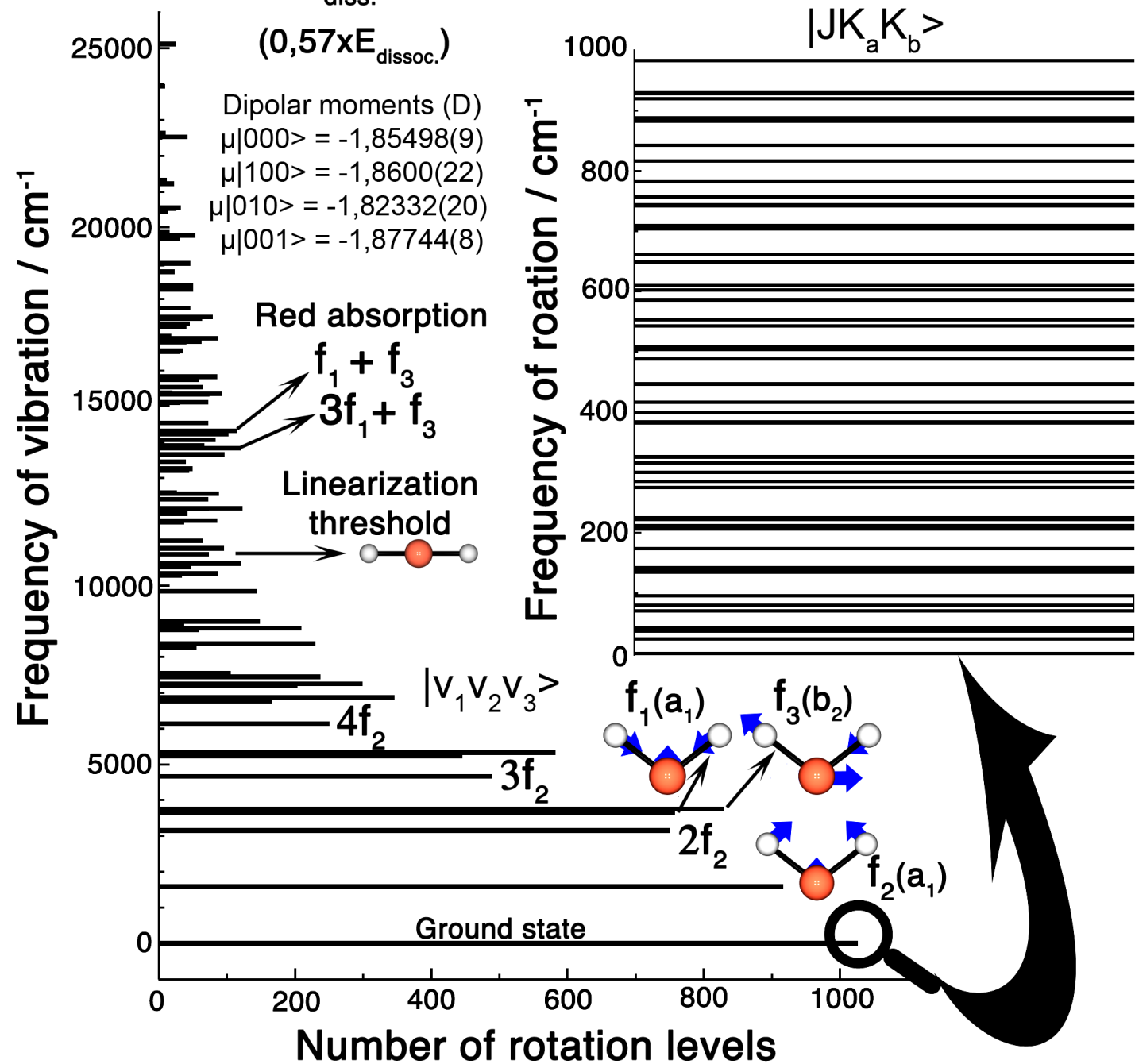
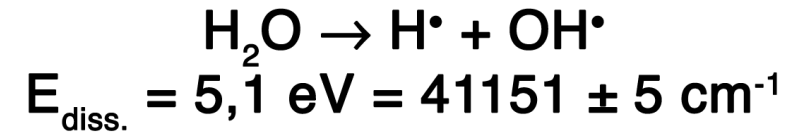
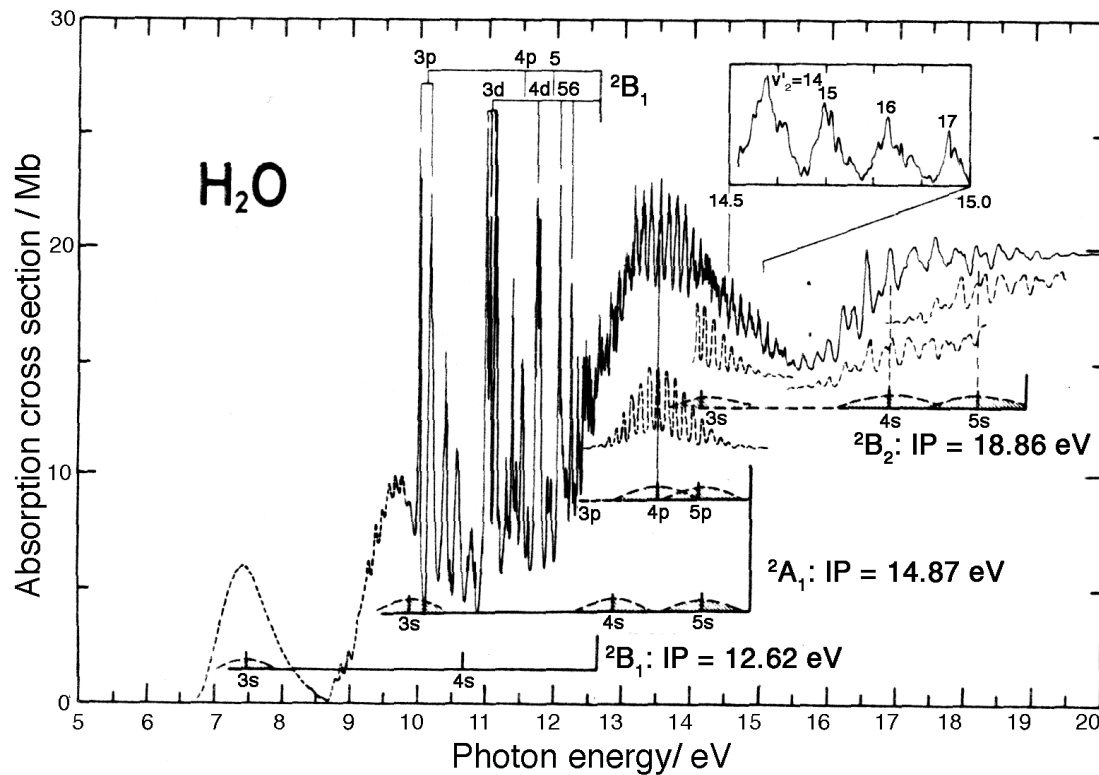
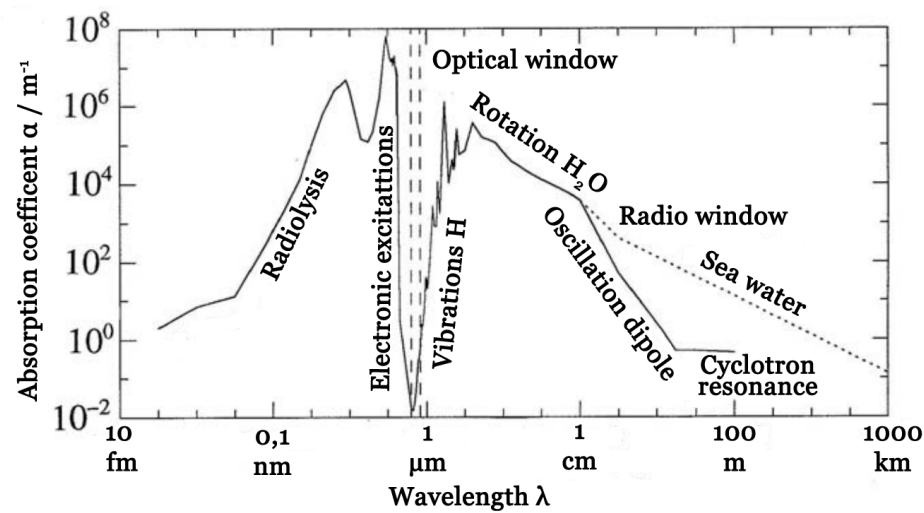
I think of my lifetime in physics as divided into three periods.
In the first period, I was in the grip of the idea that Everything is Particles (...).
I call my second period Everything Is Fields (...).
Now I am in the grip of a new vision, that Everything is Information(...).
Never make a calculation until you know the answer.



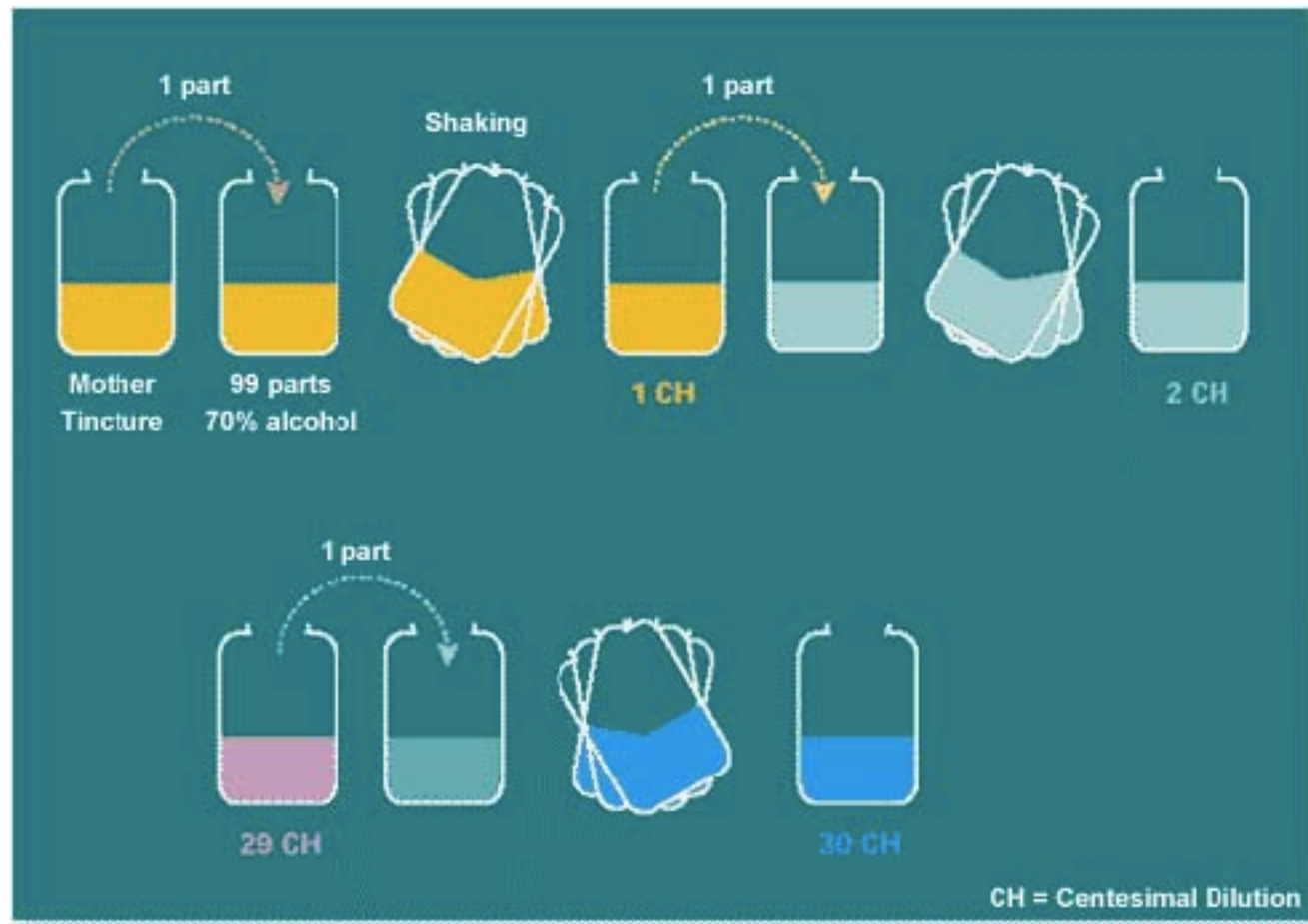
One coherence domain
 = 1 excited state
 = 1 frequency

1 water molecule has
 millions of excited states

Possibility of coding any kind of signal (Fourier's theorem)



[Solute] ↓ ⇒ [coherence domains] ↑



Instability of coherence domains
in 3D ⇒ importance of
succussion (nanobubbles,
nanoparticles)

Trapped internal
electromagnetic field ⇒
importance of electromagnetic
environment

The more coherence domains
The more the frequencies memorized
Memorization of complex spectra (plants, organisms)

⇒ High dilution = High biological activity

Homeopathy = natural quantum nanomedicine

Pure (incoherent) water:

$$\tau_R(T) = \tau_R^0 \times \left(\frac{T}{T_0} - 1 \right)^{-\gamma} \quad T_0 = (222.8 \pm 0.4) \text{ K}; \gamma = 1.895 \pm 0.019$$

and $\tau_R^0 = (214.5 \pm 2.8) \text{ fs}$

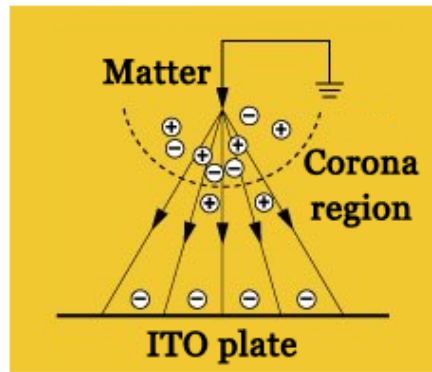
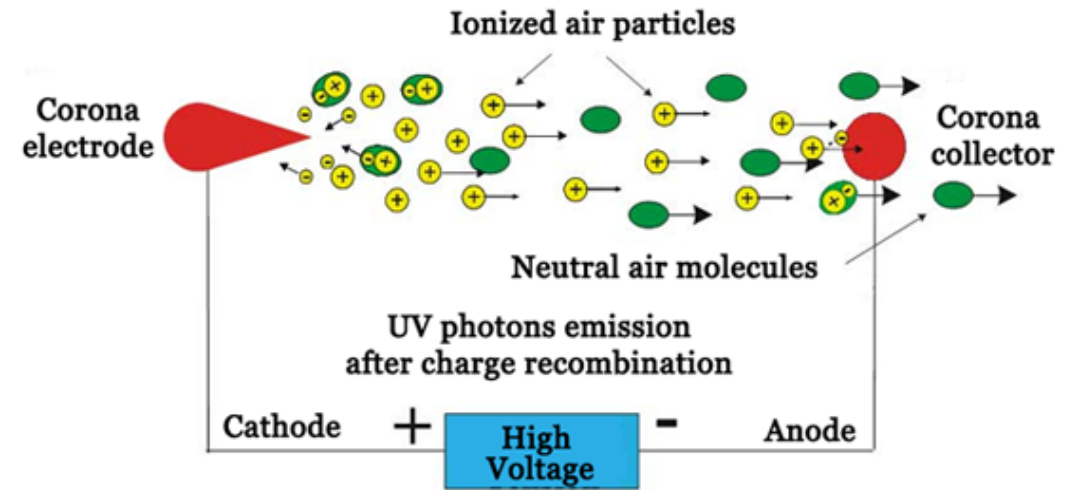
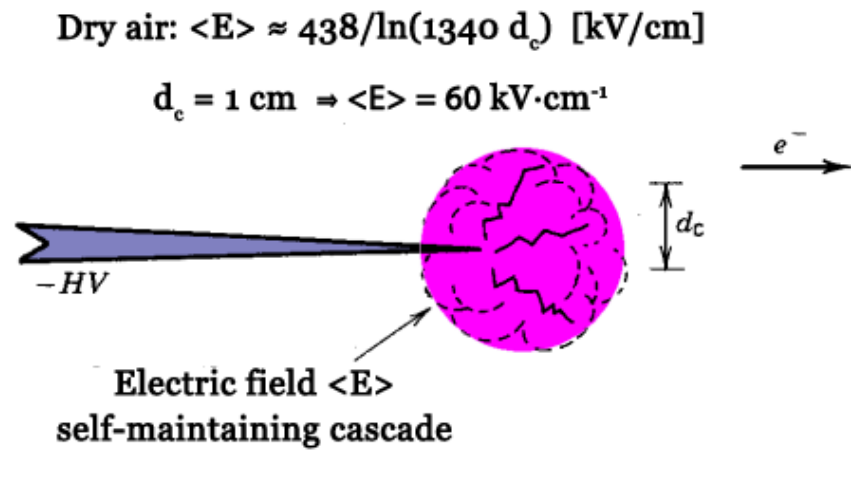
$$T = 300\text{K} \Rightarrow \tau \approx 1,6 \text{ ps}$$

¹H NMR evidence for coherence domains (f = 20 MHz)

Exp.	T ₁ ^{exp} /ms	T ₂ ^{exp} /ms	T ₁ /T ₂ ^{exp}	τ _c / ps	d / Å	T ₁ ^{calc} /ms	T ₂ ^{calc} /ms	T ₁ /T ₂ ^{calc}
cAP	2546(2)	2334(2)	1.097(0.002)	1695	3.839(1)	2545	2333	1.091
cLT	2537(2)	2377(2)	1.069(0.002)	1445	3.759(1)	2538	2378	1.067
cDL	2534(2)	2353(2)	1.074(0.002)	1550	3.793(1)	2534	2354	1.077
cDN	2575(1)	2438(3)	1.057(0.001)	1320	3.722(1)	2575	2438	1.056
gAP	2533(1)	2341(3)	1.079(0.002)	1605	3.810(1)	2534	2342	1.082
gDL	2523(1)	2347(2)	1.079(0.001)	1530	3.784(1)	2524	2348	1.075
gDN	2548(1)	2387(2)	1.067(0.002)	1445	3.761(1)	2546	2386	1.067

$$T \approx 224\text{-}225\text{K}$$

Electrophotonic analysis (EPA)



ITO-anode

Cathode:
Liquids
Solids
Gels
Tissues

UV-filter

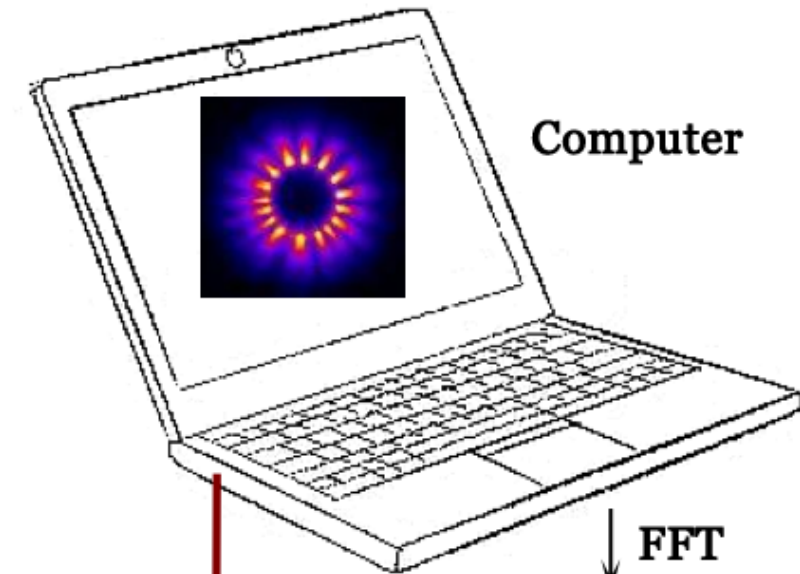
High voltage (10 kV)

512x512 pixels
200-1000 nm
 $p = 10^{-7}$ Torr
 $T = -75^\circ\text{C}$
 $7e^-$ noise

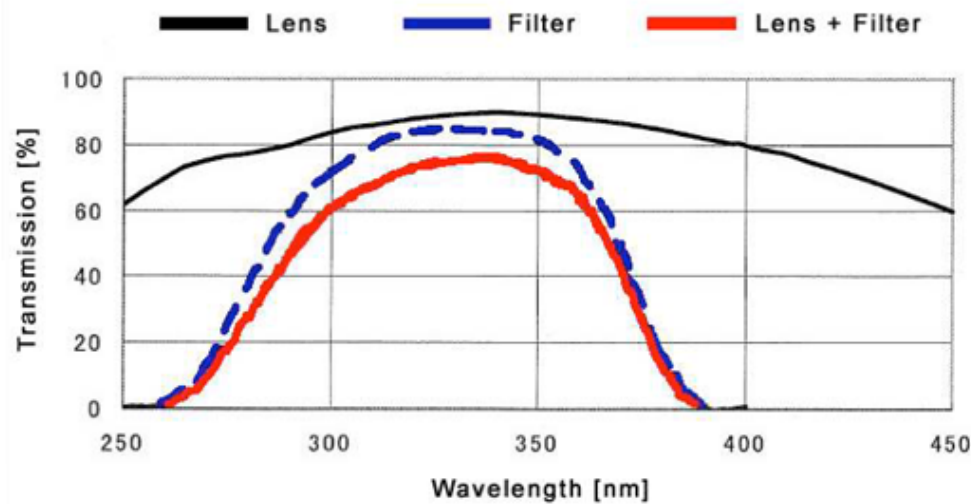
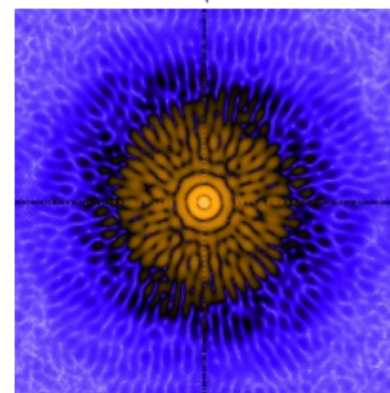
Pulsed signals
variable
amplitude &
frequency

AEPG ©
Generator

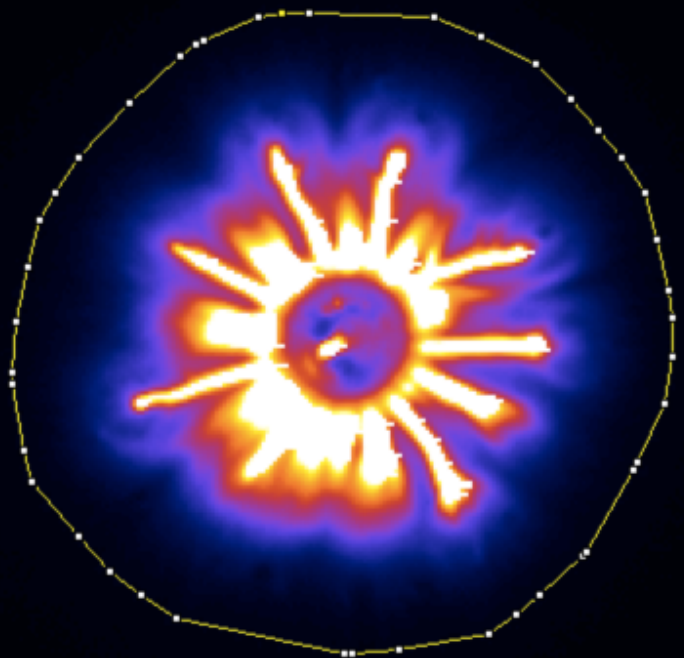
Driving softwares



FFT

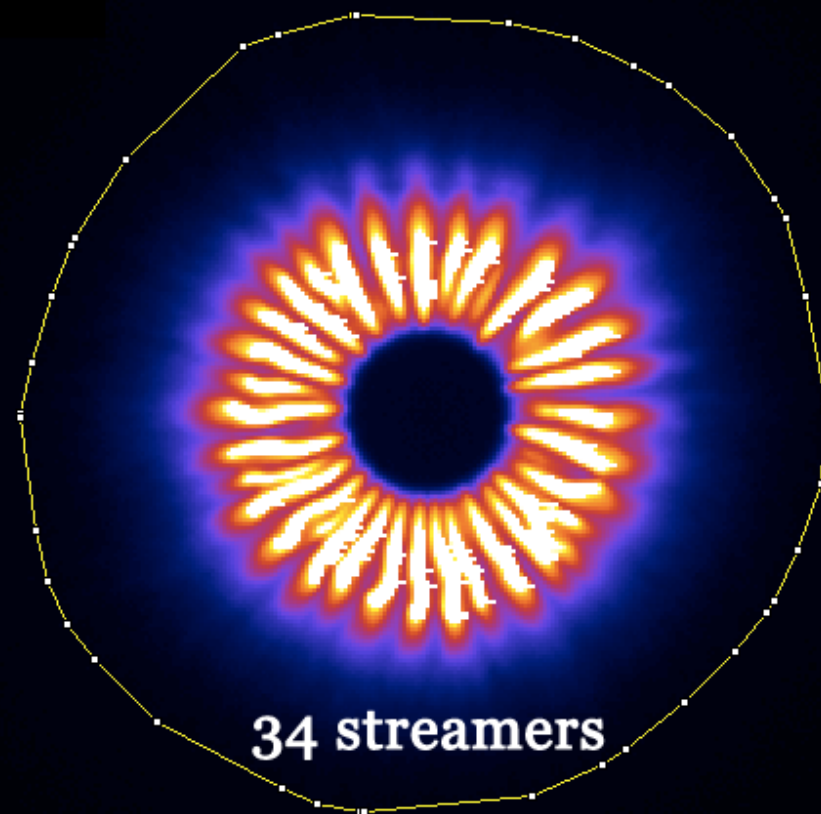


Aqua Pura : area = 8.33%



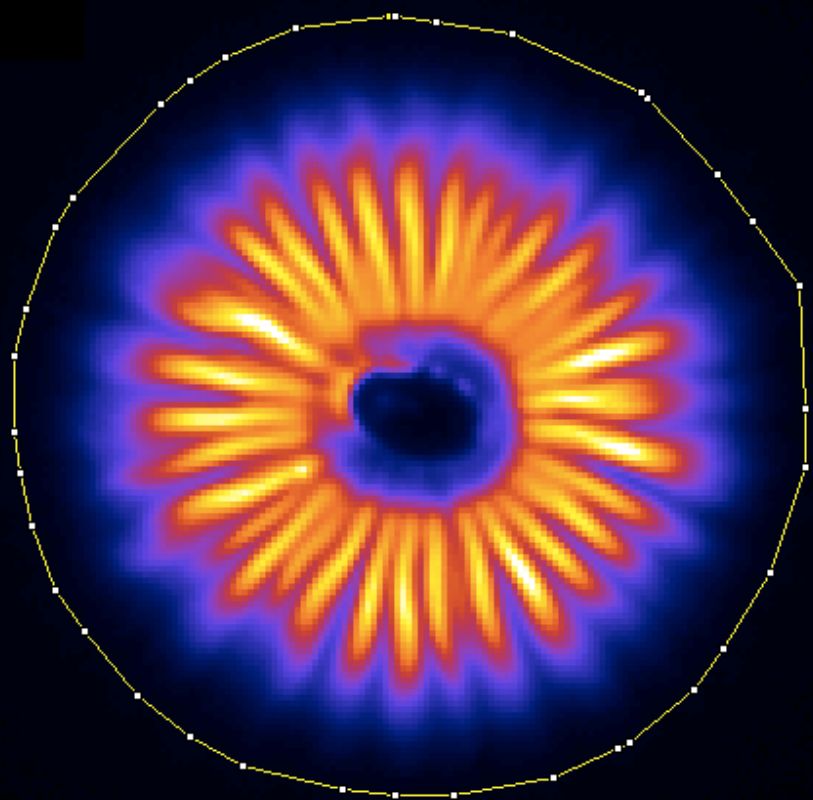
20 streamers

Gelsemium MT: area = 12.54%



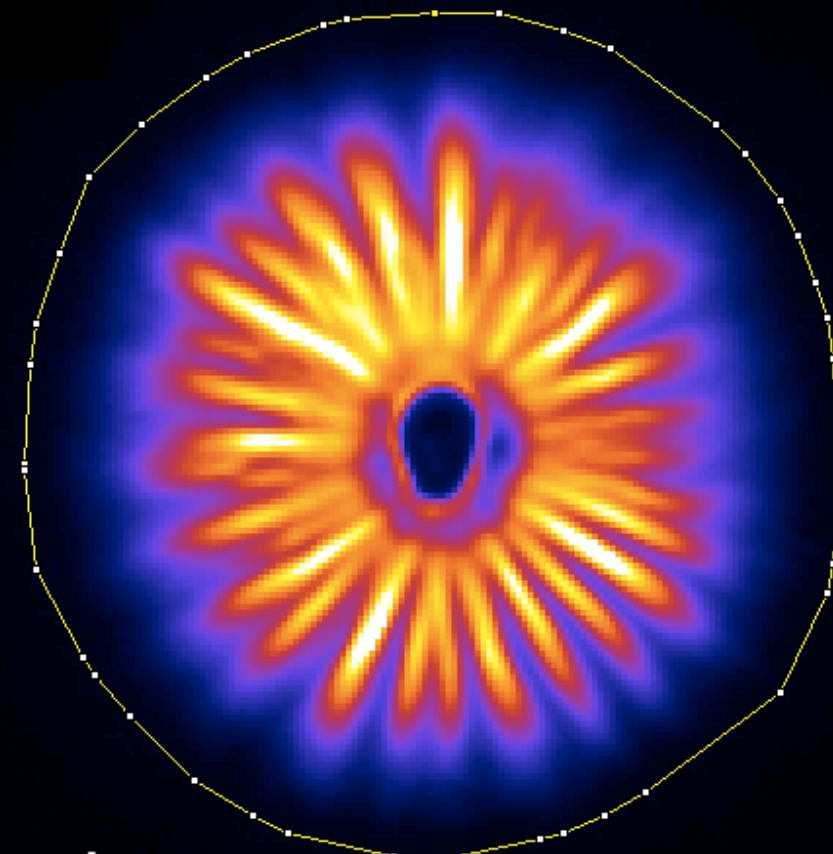
34 streamers

Gelsemium 13 CH : area = 5.40%



33 streamers

Gelsemium 10^{-26} : area = 6.10%



30 streamers

Electrophotonic analysis (EPA)

$f(i,j)$ = intensity of pixel (i,j)

L2 norm or total energy:

$$E = \sqrt{\sum_{i=1}^n \sum_{j=1}^n f(i,j)^2}$$

H1 norm or overall contrast:

$$\Delta = \sqrt{\sum_{i=1}^n \sum_{j=1}^n [f(i,j) - f(i-1,j+1)]^2 + [f(i,j) - f(i,j+1)]^2 + [f(i,j) - f(i+1,j+1)]^2 + [f(i,j) - f(i-1,j)]^2 + [f(i,j) - f(i+1,j)]^2 + [f(i,j) - f(i-1,j-1)]^2 + [f(i,j) - f(i,j-1)]^2 + [f(i,j) - f(i+1,j-1)]^2}$$

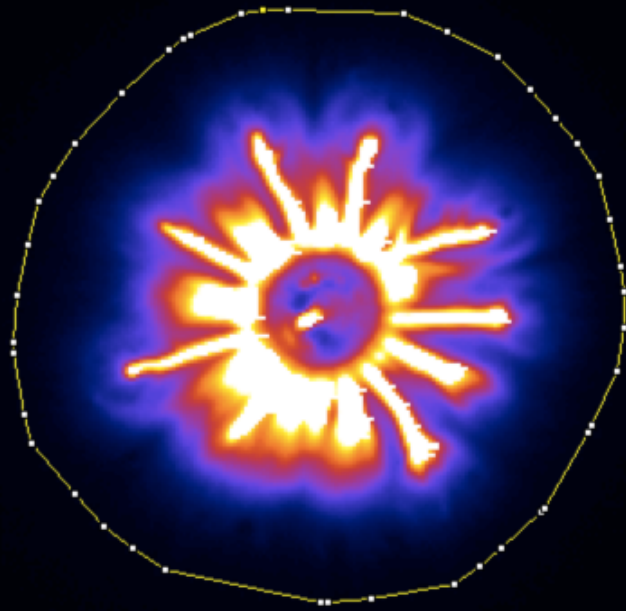
Shannon's entropy or information content ($N = 2^8 = 256$):

$$S = - \sum_{i=1}^N p_i \times \log_2 p_i$$

Random image: $S_{\max} = 8$

Black image: $S_{\min} = 0$

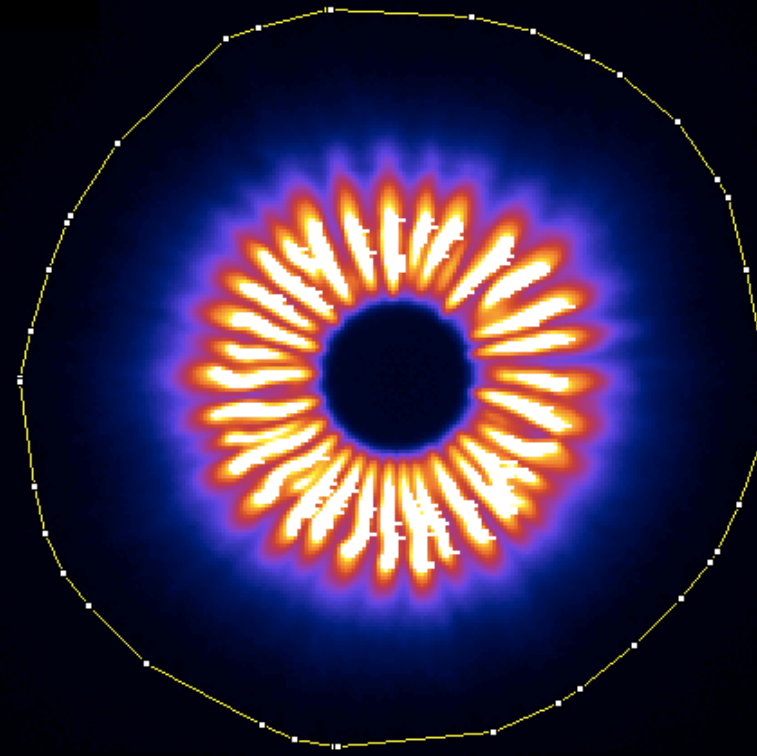
Aqua Pura : E = 15 145



$\Delta = 6\ 946$

S = 1.914/8

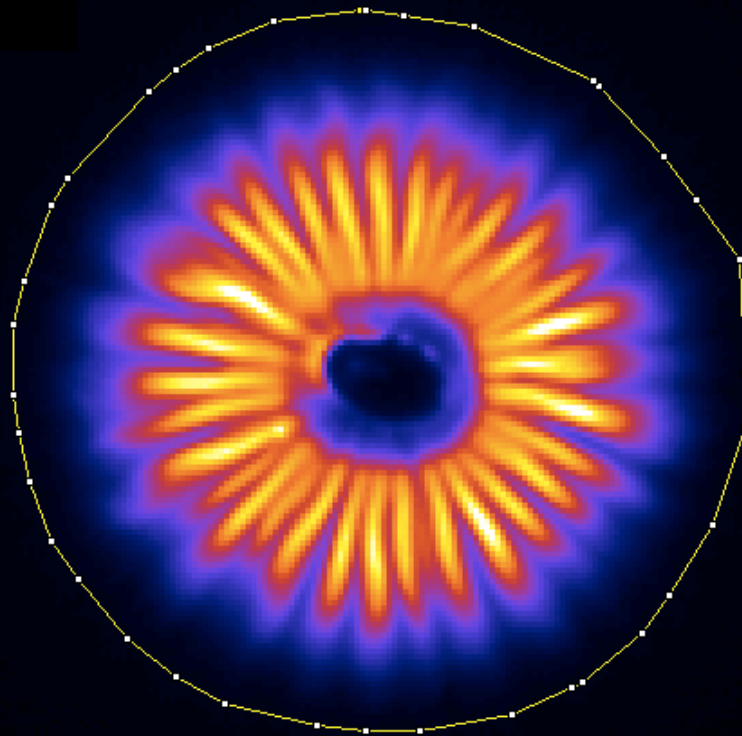
Gelsemium MT: E = 16 806



$\Delta = 9\ 000$

S = 2.214/8

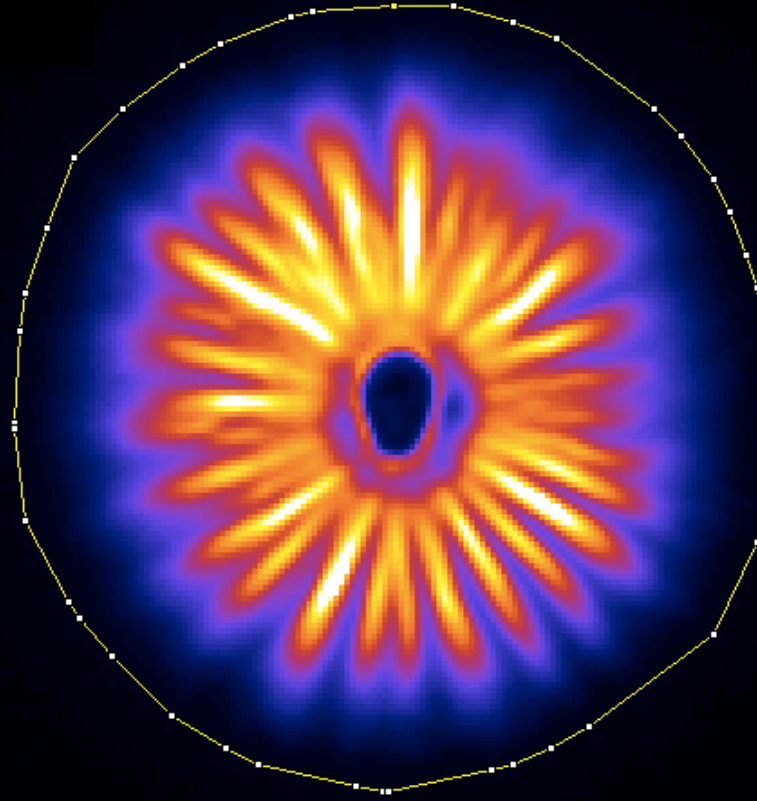
Gelsemium 13 CH : E = 11 303



$\Delta = 5\ 012$

S = 1.596/8

Gelsemium 10^{-26} : E = 12 449



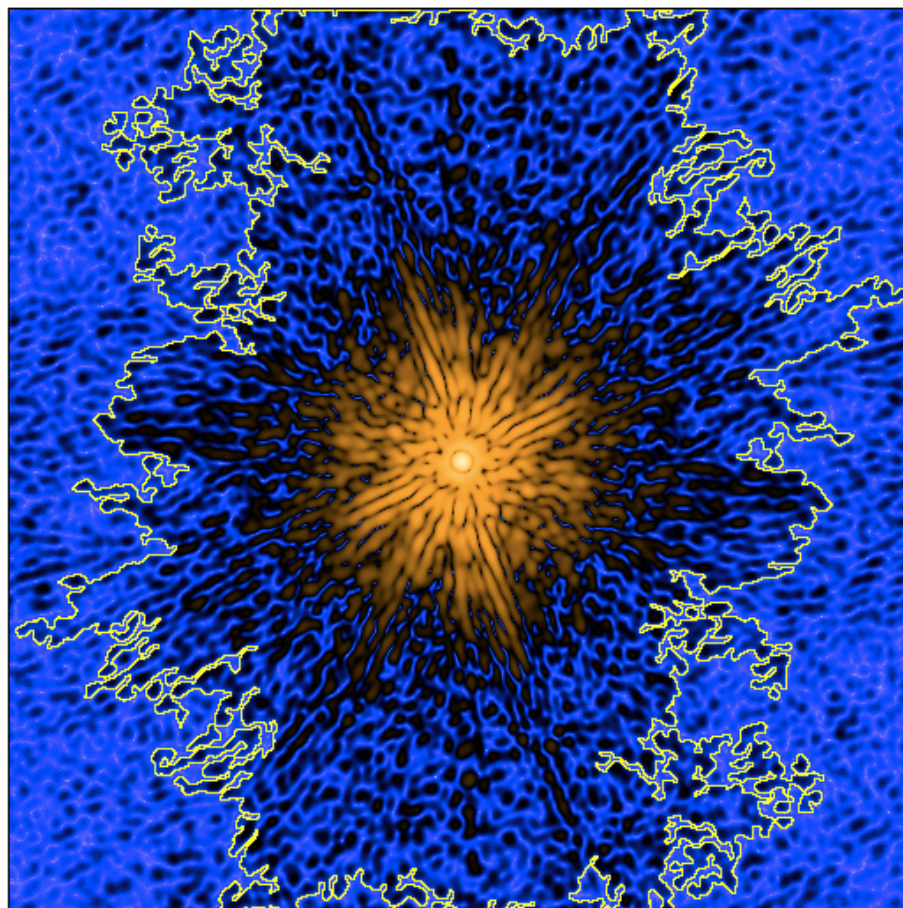
$\Delta = 5\ 107$

S = 1.412/8

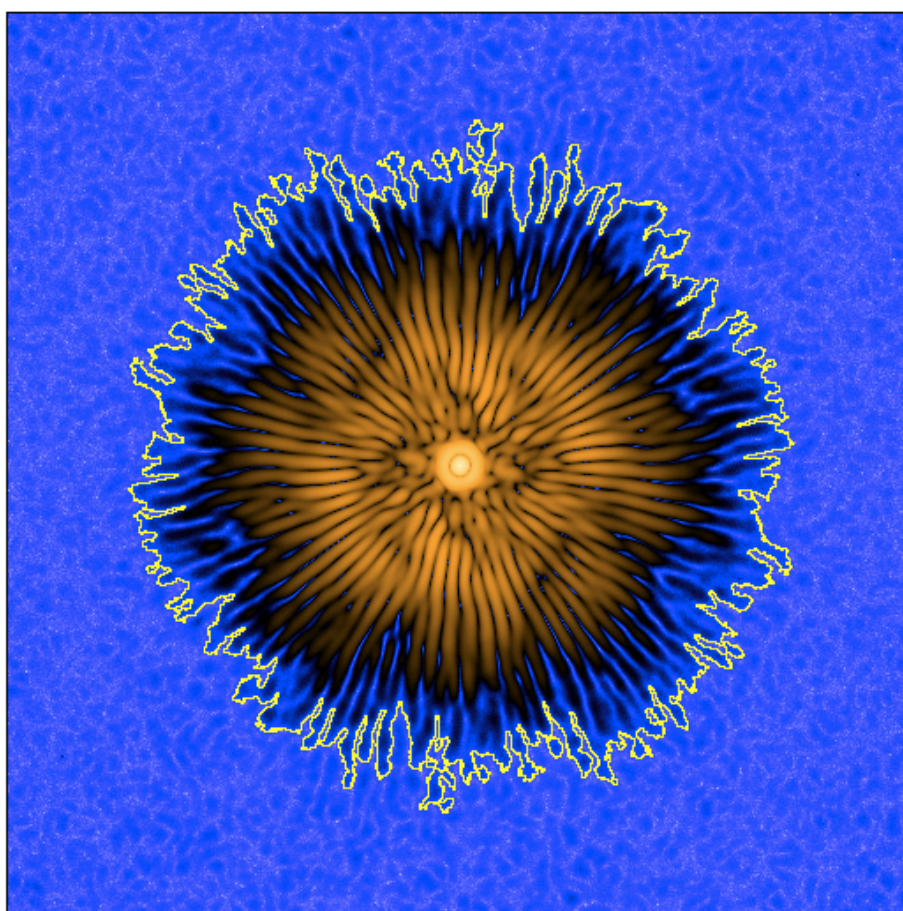
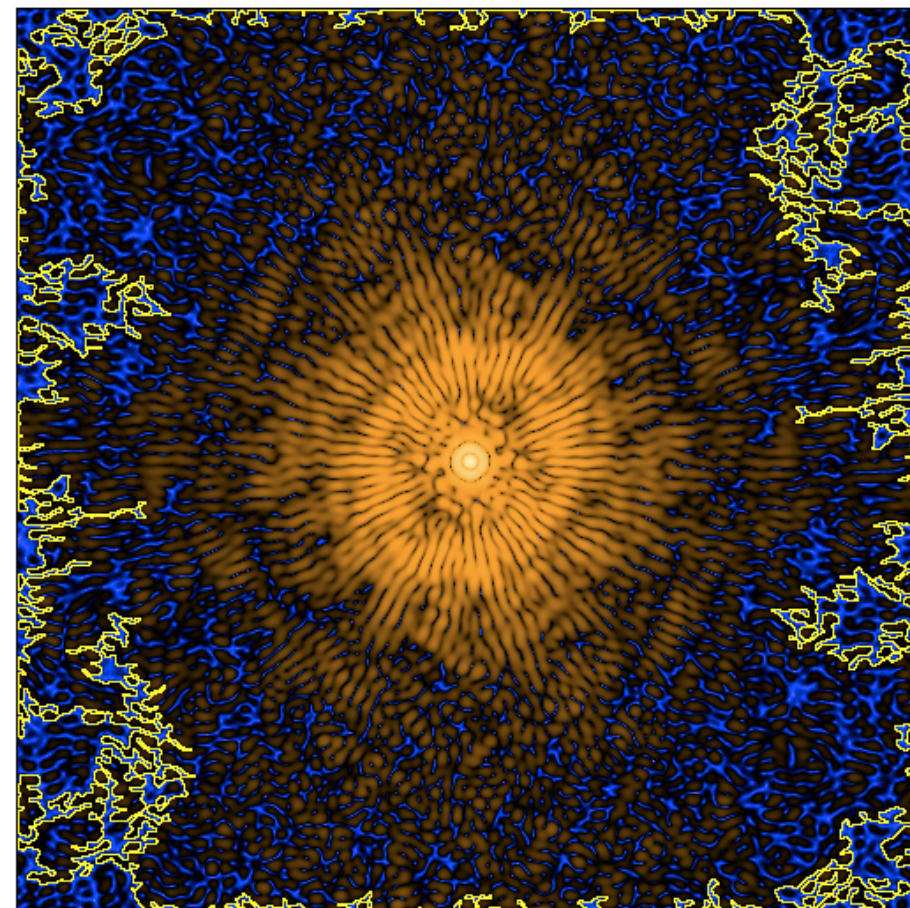
Fast Fourier Transform (FFT)

Spatial frequency spreading

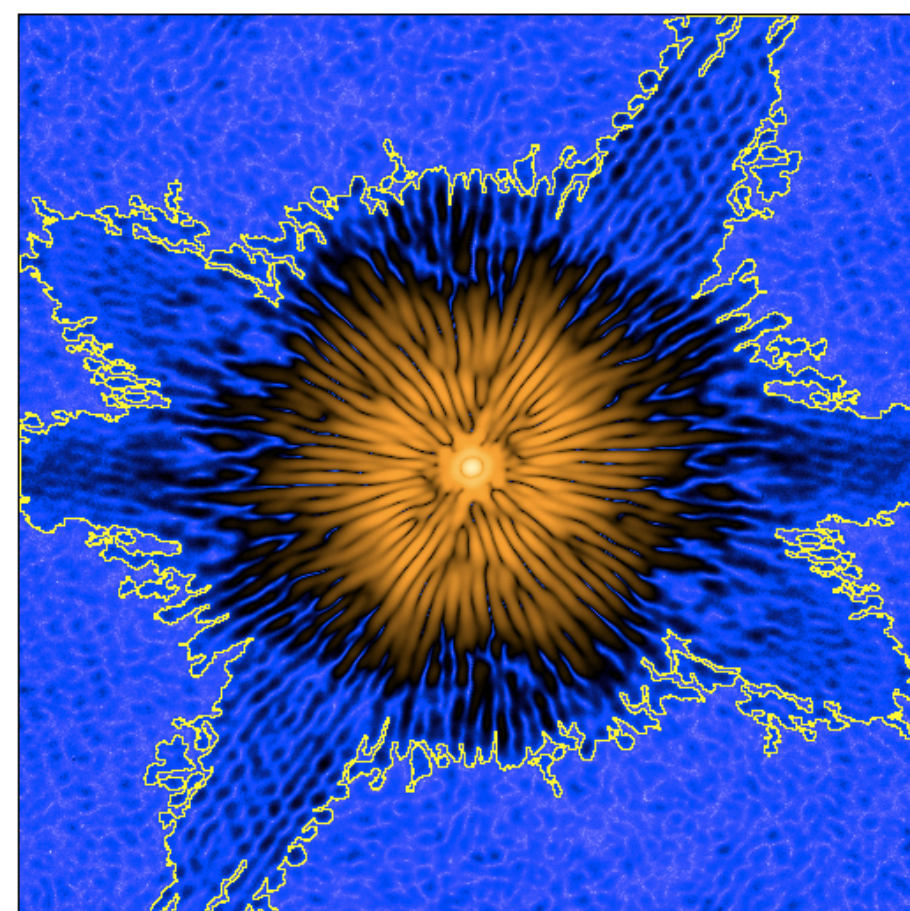
Aqua Pura : area = 61.9%



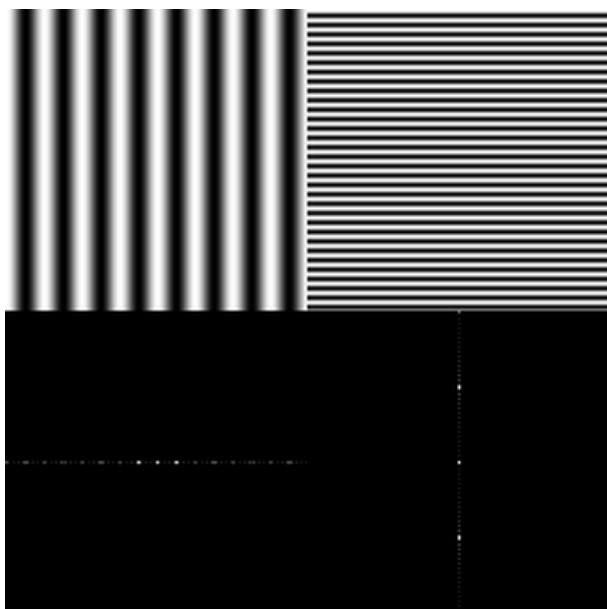
Gelsemium MT: area = 90.4%



Gelsemium 13 CH : area = 36.7%

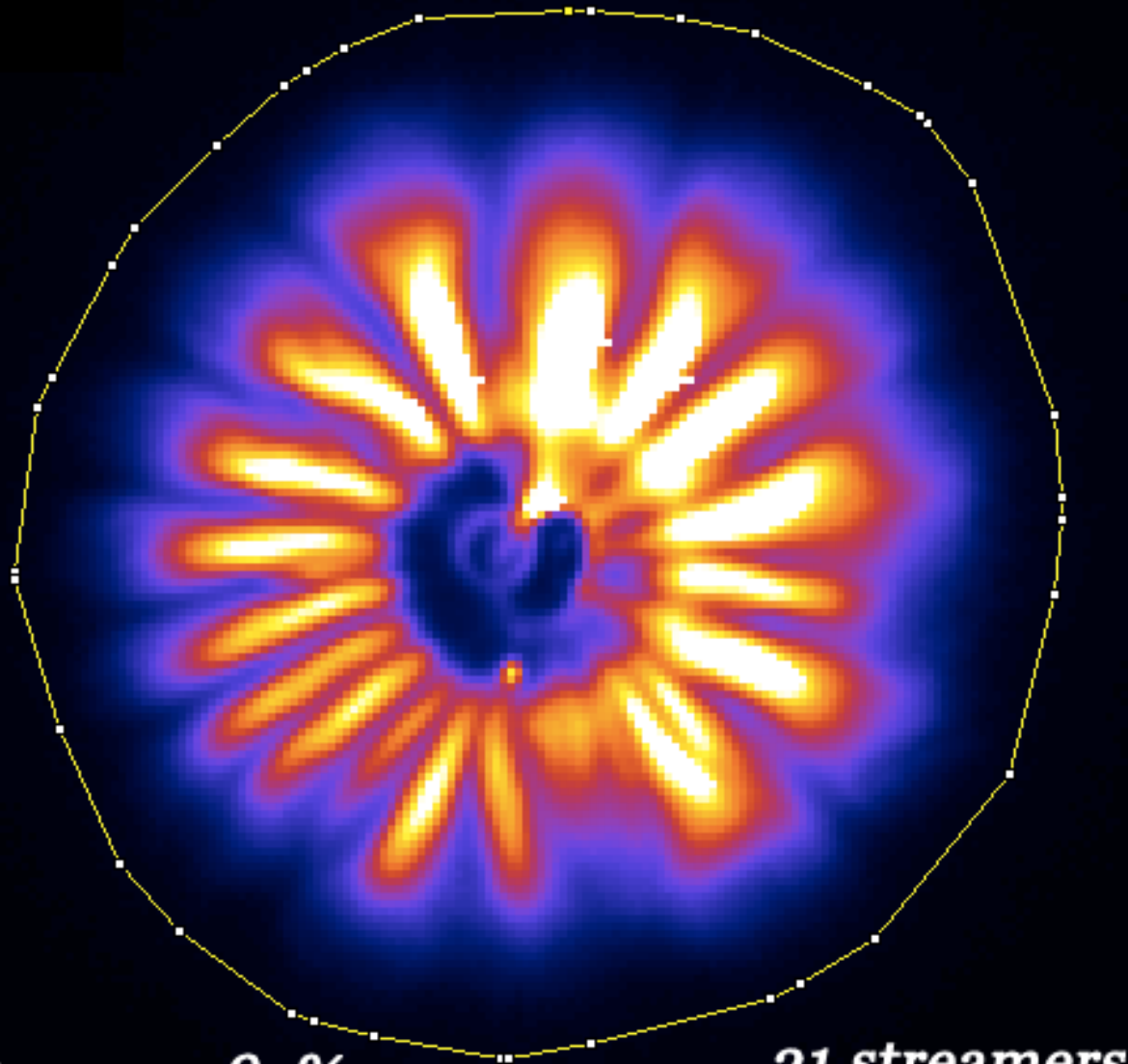


Gelsemium 10⁻²⁶ : area = 53.9%



Effect of preparation and aging

Gelsemium 50 000 K (2016)

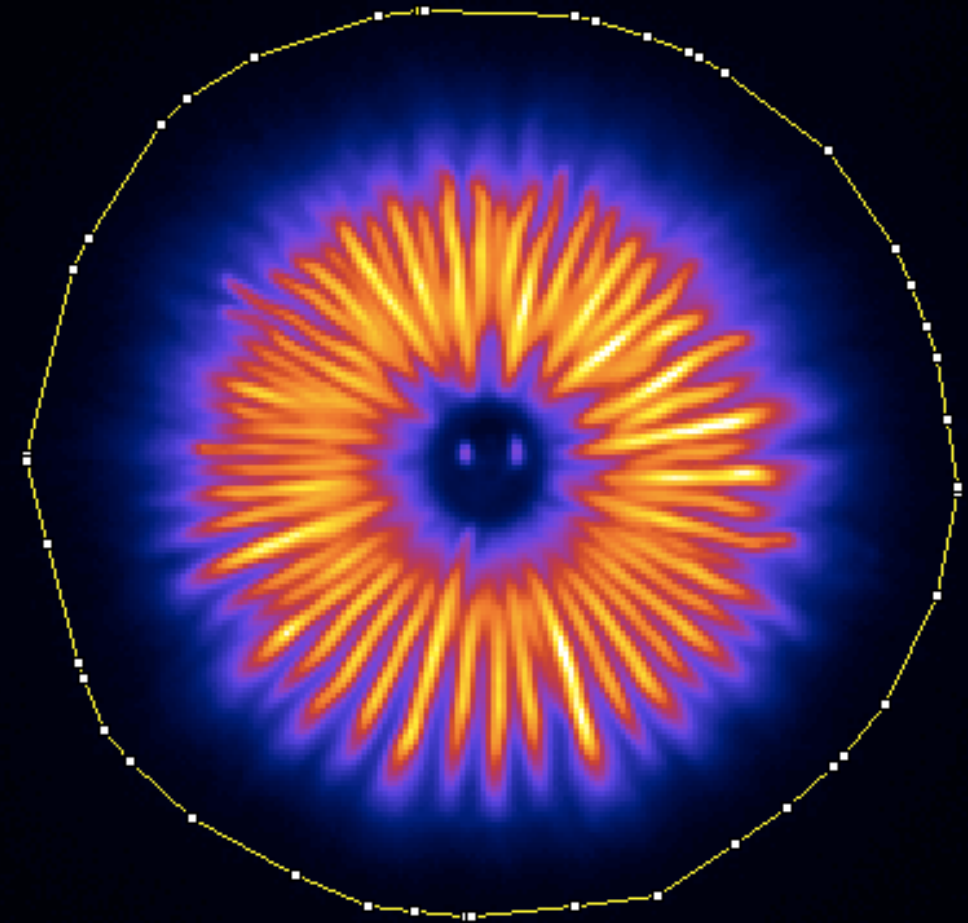


Area = 5.87%

21 streamers

Gelsemium 50 000 K (1988)

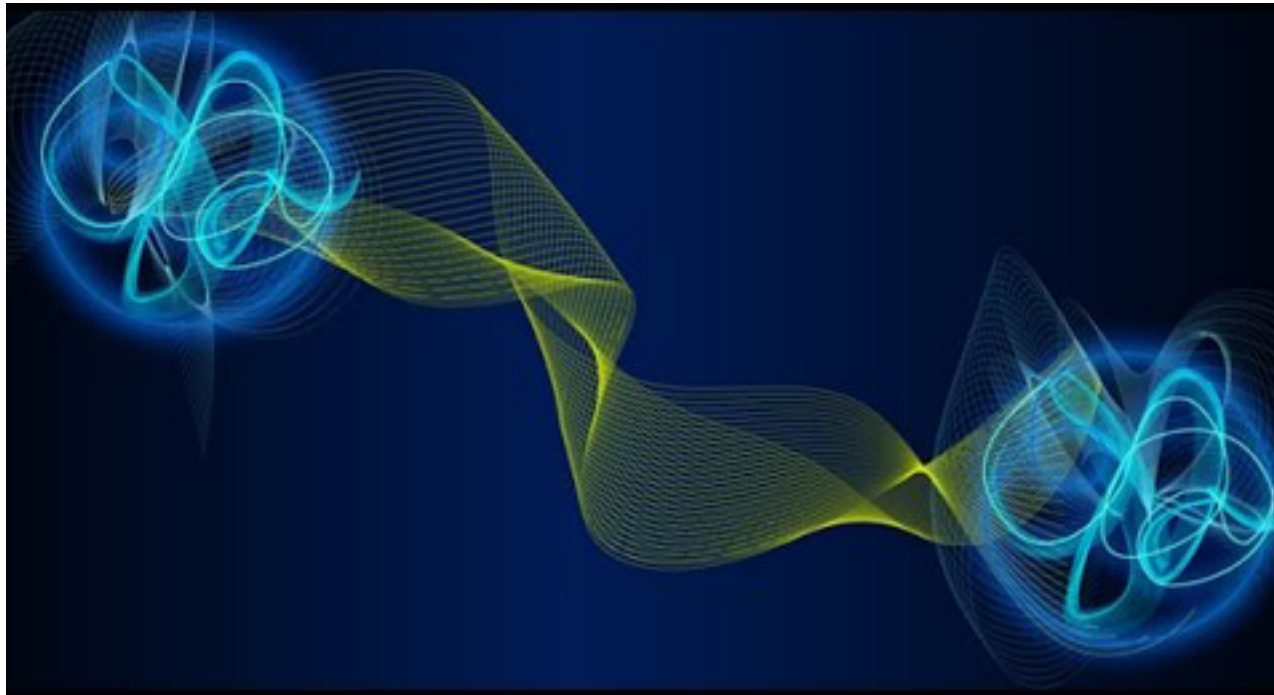
area = 9.39%



56 streamers

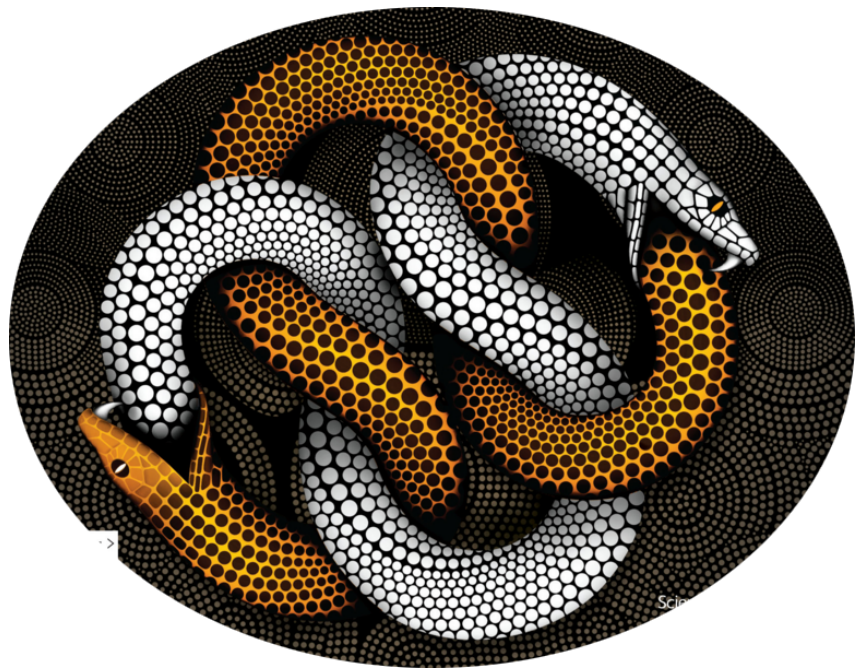
Korsakov method

Conclusion



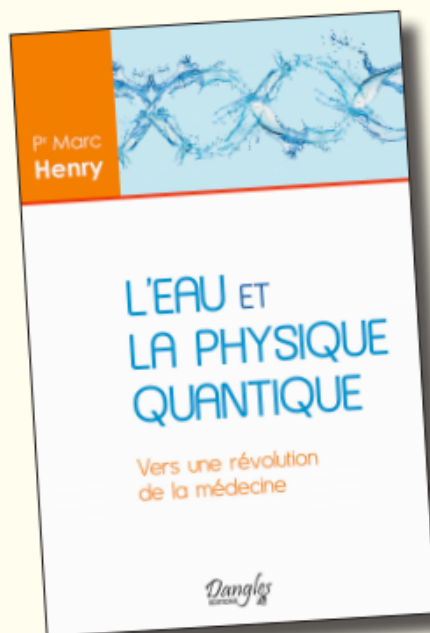
The homeopathic approach initiated by Samuel Hahnemann is a quantum thinking approach

Good health is an entangled quantum state that cannot be understood by looking at parts nor analyzed with full certainty



Hahnemann's immaterial dynamic force is the manifestation of a topological quantum uncertainty relationship
($\Delta N \cdot \Delta \varphi \geq 1/2$)

Water + air (nanobubbles) interfaces are able to memorize information in quantum-field coherence domains



Physique quantique
Format : 15,5 x 24
Nb pages : 384 – Quadri
Ean : 9782703311478 – 32 €

Nombreuses illustrations

AVEC UN CHAPITRE COMPLET
SUR LA MÉMOIRE DE L'EAU

ENFIN TOUS LES TRAVAUX
DU PR HENRY PORTÉS À LA
CONNAISSANCE DU PUBLIC



Marc Henry est ingénieur chimiste, docteur ès sciences, habilité à diriger des recherches et professeur d'université dispensant un enseignement sur la chimie, la science des matériaux, la physique quantique et la symétrie moléculaire et cristalline. Marc Henry est aussi président de l'association Natur'Eau Quant qui milite pour une approche quantique de la nature utilisant l'eau comme vecteur d'information.

CONTACT PRESSE :

Florence Vaillant : 05 81 91 31 36
f.vaillant@piktos.fr



L'EAU ET LA PHYSIQUE QUANTIQUE PR MARC HENRY

L'eau reste une substance mystérieuse pour la science et chaque jour amène son lot de publications tentant d'expliquer ses surprenantes propriétés. Parmi elles, l'aptitude de l'eau à procurer la vie est certainement la plus fascinante. C'est pour résoudre l'énigme de ce lien intime entre l'eau et la vie que des scientifiques ont émis l'idée que l'eau est capable de véhiculer et de transmettre des informations.

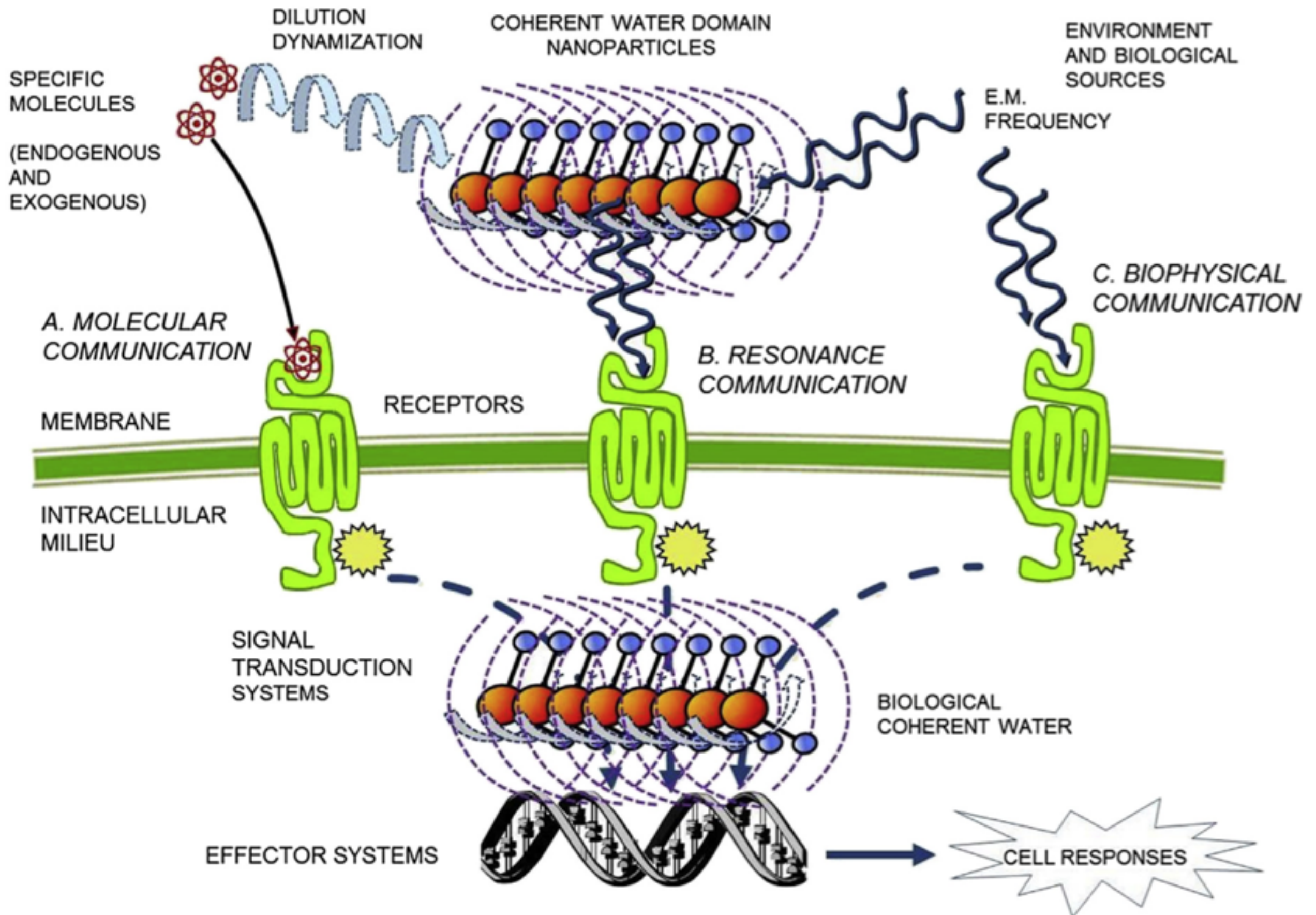
Cette hypothèse expliquerait l'omniprésence de l'eau dans les cellules (sur 100 molécules constitutives d'une cellule, 99 sont des molécules d'eau) et donnerait également une base théorique à l'efficacité de l'homéopathie. Les travaux très controversés de Jacques Benveniste, repris depuis 2004 par le professeur Luc Montagnier, en mettant au-devant de la scène médiatique la théorie de la « mémoire de l'eau », ont suscité une vive polémique au sein des cercles scientifiques.

Pour résoudre la crise, certains chercheurs, dont l'auteur, proposent une vision quantique du monde biologique. La physique quantique des champs voit dans le vide quantique la source de toute matière et de toute énergie, et serait en mesure d'expliquer comment l'eau, via la formation de « domaines de cohérence », pourrait effectivement être un vecteur d'information biologique.

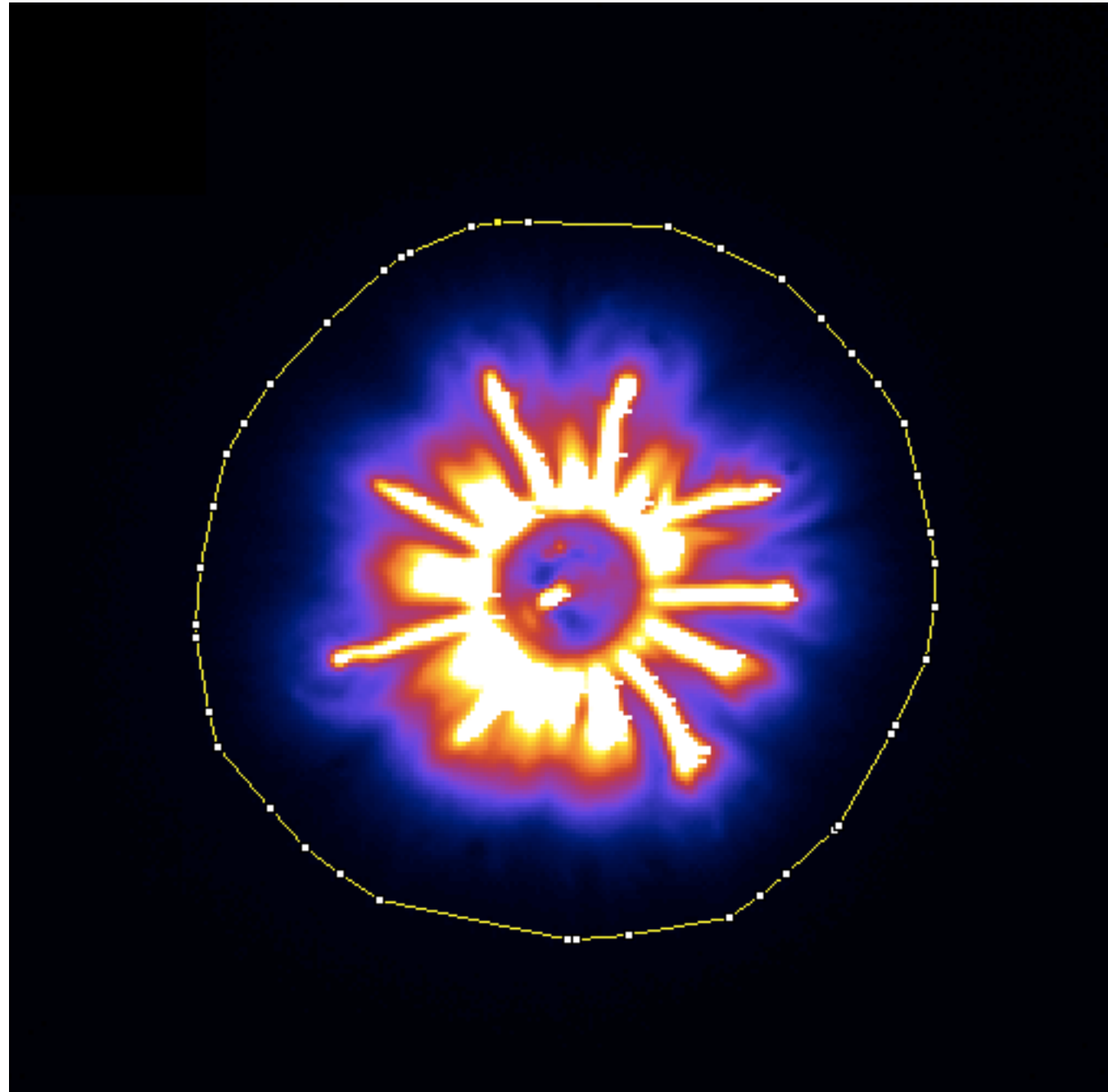
Dans cet ouvrage, Marc Henry, conférencier apprécié pour sa pédagogie et sa capacité à présenter les choses complexes dans un langage clair, livre toutes les bases scientifiques nécessaires pour appréhender cette révolution quantique qui réinventera la médecine. Les lecteurs de tous horizons trouveront dans ces pages une source d'information précieuse.



Many thanks for your attention!!!



Aqua Pura (512px512p)



Energy = 15 145
Entropy = 1.914/8
Corona = 8.33%
20 streamers
Perimeter = 527p
Max[$\emptyset_{\text{caliper}}$] = 174p
Min[$\emptyset_{\text{caliper}}$] = 164p
Angle = 25°
AR = 1.035

Center = 0.35%
Perimeter = 109p
Max[$\emptyset_{\text{caliper}}$] = 35p
Min[$\emptyset_{\text{caliper}}$] = 34p
Angle = 164°
AR = 1.006

Lack of black center